

VYSOKÁ ŠKOLA STROJNÍ A TEXTILNÍ V LIBERCI

Fakulta strojní

Katedra balicích a polygrafických str. Školní rok: 1992/93

ZADÁNÍ DIPLOMOVÉ PRÁCE

pro Hynka M I C H L A

obor Konstrukce strojů a zařízení
zaměření balicí a polygrafické stroje

Vedoucí katedry Vám ve smyslu zákona č. 172/1990 Sb. o vysokých školách určuje tuto diplomovou práci:

Název tématu: JEDNOTKA KOMPRESIE VZDUCHU

Zásady pro vypracování:

Pro VÚPCHT Hradec Králové navrhnete kompaktní jednotku komprese vzduchu, u níž bude použit šroubový kompresor typ NK 40 firmy Rotorcomp, mazaný olejem. Nasávané množství vzduchu je $50 \text{ m}^3 \text{h}^{-1}$, výtlačný tlak 0,8 MPa

Požadavky:

- 1) Pohon elektromotorem
- 2) Chladicí okruh mazacího oleje s potřebným chladičem a ventilátorem
- 3) Chladicí okruh komprimovaného vzduchu
- 4) Rozvaděč a požadované příslušenství odpovídající ČSN
- 5) Uložení jednotky v uzavřené, zvukově izolované skříni s ovládacím panelem

V 140 1935

*VYSOKÁ ŠKOLA STROJNÍ A TEXTILNÍ
LIBEREC, ČESKÁ REPUBLIKA
FSC 461 17*

KBP/BP

Rozsah grafických prací: výkresy sestavení, rozhodující detaily

Rozsah průvodní zprávy: cca 50 stran

Seznam odborné literatury: vysokoškolské učebnice,

všeobecná technická literatura

ČSN

Vedoucí diplomové práce: Ing. Drahomír Fencl, CSc

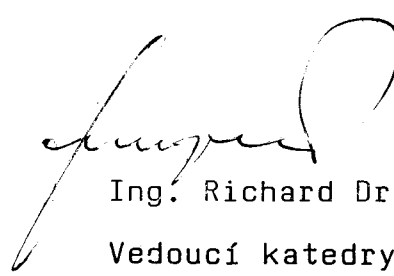
Konzultant: Ing. Jan Ondráček

Ing. František Záhorec

Zadání diplomové práce: 1.10.1992

Termín odevzdání diplomové práce: 22.12.1993

L.S.



Ing. Richard Drapák

Vedoucí katedry



Prof. Ing. Jaroslav Exner, CSc

Děkan

V Liberci

dne 1. října 1992

VYSOKÁ ŠKOLA STROJNÍ A TEXTILNÍ
FAKULTA STROJNÍ

Katedra balících a polygrafických strojů
obor: 23-21-8

Konstrukce strojů a zařízení
zaměření
balící a polygrafické stroje

JEDNOTKA KOMPRESÉ VZDUCHU

Hynek Michl

UNIVERZITNÍ KNIHOVNA
TECHNICKÉ UNIVERZITY U LIBERCI



3146075496

Vedoucí práce: Ing. Drahomír Fencl, CSc, VŠST Liberec
Konzultanti: Ing. Jan Ondráček, VÚPCHT Hradec Králové
Ing. František Záhorec, VÚPCHT Hradec Králové

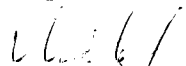
Rozsah práce:

počet stran: 56
počet obrázků: 16
počet výkresů: 24
počet příloh: 2
počet tabulek: 2

Místopřísežně prohlášuji, že jsem diplomovou práci vypracoval samostatně a používal uvedené literatury.

V Liberci dne 28.května 1993

Hynek Michl



O b s a h

| | strana |
|--|--------|
| 1.Cíl a zadání diplomové práce | 3 |
| 1.1.Cíl diplomové práce | 3 |
| 1.2.Zadání diplomové práce | 3 |
| 2.Úvod - šroubové kompresory | 6 |
| 3.Pohon kompresoru el.motorem | 9 |
| 3.1.Výpočet el.motoru | 9 |
| 3.2.Výpočet řemenového převodu | 12 |
| 4.Návrh chladiče a ventilátoru | 16 |
| 4.1.Popis vzduchového chladiče a ventilátoru | 16 |
| 4.2.Výpočet výkonu chladiče | 16 |
| 5.Celkové schema zapojení | 29 |
| 5.1.Schema zapojení kompresoru (dle výrobce) | 29 |
| 5.2.Nezbytné ochrany šroubového kompresoru | 30 |
| 5.3.Skutečné schema zapojení kompresorové jednotky | 32 |
| 6.Elektropříslušenství | 34 |
| 6.1.Rozvaděč | 34 |
| 6.2.Seznam elektrosoučástí | 34 |
| 6.3.Ovládací panel | 35 |
| 6.4.Uvedení do provozu | 36 |
| 7.Konstrukční řešení kompresorové jednotky | 38 |
| 7.1.Možnosti usporádání | 38 |
| 7.2.Volba a popis usporádání | 41 |
| 8.Provozní měření na prototypu | 42 |
| 8.1.Schema zapojení chlad.okruhu pro měření | 42 |
| 8.2.Měření vzduchové sekce | 43 |
| 8.3.Měření olejové sekce | 47 |
| 8.4.Měření rychlosti chladicího vzduchu | 48 |

strana

8.5.Vyhodnocení měření 49

| | |
|--|----|
| 9.Zařazení kompresorové jednotky v technologické lince úpravy tlakového vzduchu | 51 |
| 9.1.Popis technologické linky | 51 |
| 9.2.Kompresorová jednotka | 52 |
| 9.3.Jednotka na úpravu vzduchu | 53 |
| 9.4.Separační mikrofiltrační jednotka | 54 |
| 9.5.Vzdušník | 54 |
| 9.6.Adsorbér | 54 |
| 9.7.Bakteriální filtr | 55 |

S e z n a m v ý k r e s ũ

4 - VKR - 2318
4 - VKR - 2319
4 - VKR - 2322
4 - VKR - 2323
4 - VKR - 2324
4 - VKR - 2325
4 - VKR - 2326
4 - VKR - 2327
4 - VKR - 2328
4 - VKR - 2329
4 - VKR - 2330

3 - VKR - 2034
3 - VKR - 2036
3 - VKR - 2037
3 - VKR - 2038
3 - VKR - 2039
3 - VKR - 2040
3 - VKR - 2041
3 - VKR - 2042

2 - VKR - 354
2 - VKR - 355

1 - VKR - 195
1 - VKR - 196 (K - VKR - 196)

0 - VKR - 050

1. CÍL A ZADÁNÍ DIPLOMOVÉ PRÁCE

1.1 Cíl diplomové práce

Cílem řešení diplomové práce je návrh a konstrukce jednotky komprese vzduchu pro dodávku čistého, stlačeného vzduchu. V této kompresorové jednotce bude použit jako zdroj tlakového vzduchu šroubový, olejem mazaný kompresor, typ NK-40, firmy Rotorcomp (SRN). Technické parametry kompresoru NK-40:

- nasávané množství vzduchu do $60 \text{ m}^3 \cdot \text{h}^{-1}$
- výtlacný tlak do 1,6 MPa

1.2 Zadání diplomové práce

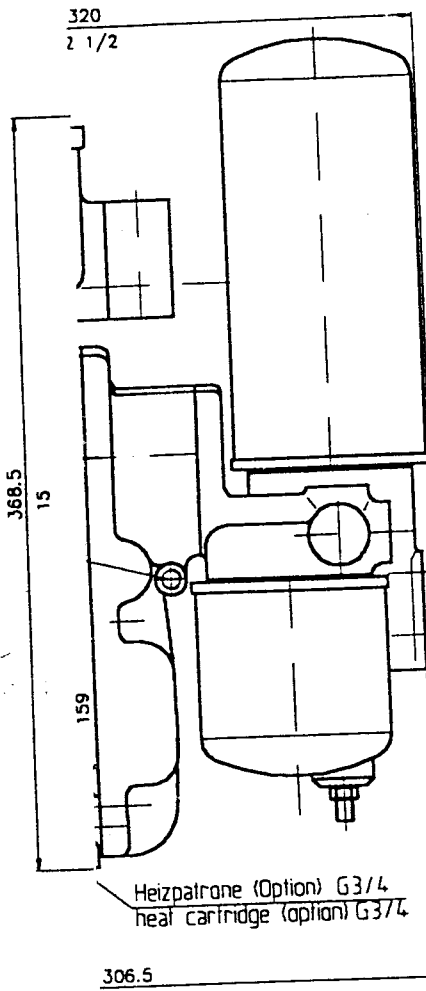
Navrhnete kompresorovou jednotku s výkonností $40 \text{ m}^3 \cdot \text{h}^{-1}$ ($t = 0^\circ\text{C}$, $p = 760$ torr) upraveného tlakového vzduchu. Požadovaný maximální výtlacný tlak kompresorové jednotky je 0,7 MPa absolutních. Pohon kompresoru volte elektromotorem. K prochlazení cirkulujícího oleje a komprimovaného vzduchu použijte vzduchový chladič s ventilátorem. Kompresor doplňte nezbytnými provozními ochranami a rozvaděčem. Konstrukčně zpracujte zvukově izolovanou skříň pro uložení kompresoru, pohonu, vzduchového chladiče, provozních ochran a rozvaděče, která bude opatřena ovládacím panelem.

Uvedené parametry, které se liší od původního zadání (výkonnost $50 \text{ m}^3 \text{ h}^{-1}$, výtlacný tlak 0,8 MPa absol.) byly změněny na přání odběratele, pro něhož byla kompresorová jednotka navržena a vyrobena.

1.2.1 Šroubový olejem mazaný kompresor NK-40

Legenda k sestavenému výkresu NK-40, číslo výkresu
R-6-12 178 (viz následující strana)

- A - blok šroubového kompresoru
- B - regulátor sání se vzduchovým sacím filtrem
- C - olejová vana
- D - olejový filtr
- E - odlučovač oleje
- F - regulátor tlaku = ventil minimálního tlaku
- G - pojistný ventil
- H - vstup oleje do chladiče
- J - výstup oleje z chladiče
- K - teplotní čidlo
- L - plnění oleje
- M - vypouštění oleje
- N - výstup tlakového vzduchu
- O - připojení tlačítkového spínače (ochrana)



Sicherheitsventil
safty valve

G Öl zum Kühl器 G1/2
H oil to cooler G1/2

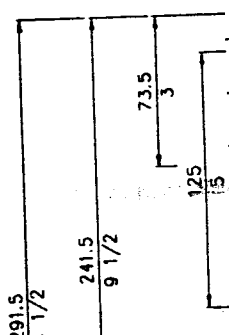
J Öl vom Kühl器 G1/2
L oil from cooler G1/2

K Temperaturfühleranschluß M10x1
temperature probe connection M10x1

L Ölentfernung
oil filter

M Ölablauf G1/2
oil removal G1/2

N Anschluß Druckschalter G1/4
connection pressure switch G1/4



| 168 el grob | Oberfläche | Maßstab 1 : 2 | Position - | Menge - |
|----------------|------------|---------------|------------|---------|
| | | - | | |
| | | - | | |

Zum Name
01.1992 maqd

Einbauzeichnung NK 40

TORCOMP
DICHTER GMBH
100 München
R-12 178 A

R-6-12 178

01 92

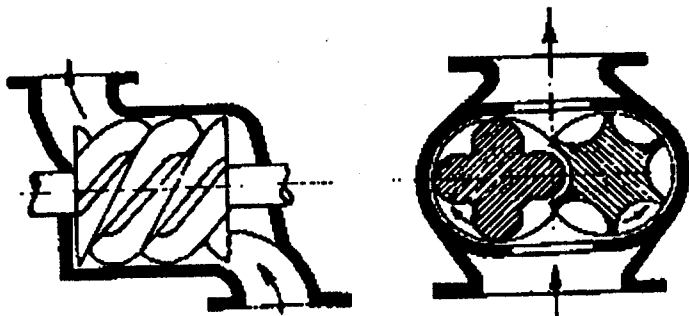
Blatt
2
281

2. ÚVOD – ŠROUBOVÉ KOMPRESORY

Šroubové kompresory se v posledních letech uplatňují stále v širším měřítku, zejména díky svým dobrým technickým a ekonomickým ukazatelům.

Vynálezcem tohoto stroje, který patří do skupiny objemových kompresorů, je profesor Lysholm, který svůj patent podal již ve 40-tých letech.

Šroubový kompresor se vyznačuje výhodami objemových i rychlostních kompresorů, aniž by měl většinu jejich nevýhod. Základem šroubových kompresorů jsou dva rovnoběžné rotory ve tvaru ozubených šroubových kol s velkým stoupáním. Jeden rotor má 3 nebo 4 zuby, druhý rotor 4,5 nebo 6 dutých zárezů stejného stoupání jako první rotor (viz obr.1). Oba rotory, uložené ve válci, při otáčení vytvářejí zmenšující se, ve směru osy se pohybující komůrku, v níž se komprimuje uzavřený objem plynu a po dosažení hrany výtlačného hrdla se vytlačuje z válce.



Obr.1

Nejčastěji užívaný asymetrický profil zuba byl vytvořen z původních symetrických zubů, složením několika jejich druhů. Každý druh symetrického profilu má své výhody i nevýhody. Asymetrický profil zuba je výhodný zejména z hlediska silového zatížení rotoru (ložisek) a dále z hlediska mazání, těsnění a záběru rotorů šroubového kompresoru. K možnosti použití těchto profilů přispěla i současná NC technologie obrábění, umožňující výrobu rotorů s přesností řádově v μm .

Zásadní koncepční řešení šroubových kompresorů jsou

dvě:

1. Rotory jsou spřaženy čelním ozubeným soukolím, které zajišťuje synchronizaci otáčení. Mezi rotory je malá vůle, nejsou mazány a jsou případně vnitřně chlazené. Vůle je též mezi rotory a stěnami válce. Navíc mohou být exponované plochy šroubů, eventuálně stěn potaženy ochrannou vrstvou (například teflonem), která přebírá funkci mazání a těsnění. Takové stroje se potom používají pro stlačování kyslíku, nebo pro lékařské účely.

2. Rotory se po sobě odvalují a poháněn je pouze jeden z nich. Zuby jsou intenzivně mazány olejem. Tyto olejem mazané kompresory jsou nejrozšířenější. Olej totiž kromě mazací schopnosti ještě zvyšuje těsnost stroje a zároveň se využívá jako chladící médium kompresoru při komprese plynu. Teplota výstupního plynu u těchto strojů může dosahovat maximálně 100°C a závisí na otáčkách rotorů, tj. na výkonnosti kompresoru a také na výtlacného tlaku (zatížení).

Cirkulace oleje pro jeho chlazení je zajištěna zubovým čerpadlem nebo tlakem plynu nad olejovou lázní, který vytváří patřičný tlakový potenciál nutný pro rozvod oleje.

Šroubový kompresor může pracovat s minerálním nebo syntetickým olejem. Používání syntetických olejů se stále více rozšiřuje, a to i při stlačování vzduchu. V tomto případě musí obsahovat dostatečné množství antioxidantů. Značnou výhodou je dobrá odlučitelnost ze stlačeného plynu, která se povrdila při provozních zkouškách ve VÚPCHT. Převážně se těchto strojů používá pro stlačování plynů v uzavřených cyklech.

Výstupní plyn, jakož i cirkulující olej jsou ochlazovány ve vzduchovém nebo vodním chladiči.

Tak jako u ostatních objemových strojů, závisí výkonnost na počtu otáček. S nárůstem otáček dochází, vlivem zvýšení ztrát v sání, k částečným ztrátám ve výkonu. Výkonnost klesá také netěsností rotorů při nižších otáčkách a se zvyšujícím se kompresním poměrem při

konstantních otáčkách.

Regulace výkonnosti kompresorů je možná několika způsoby. Zřejmě nejjednodušší způsob regulace je změnou otáček kompresoru. Další častý způsob regulace, zejména pro velké kompresory, je šoupátkem výstupní hrany. Pro malé a střední šroubové kompresory je optimální regulace výkonnosti regulací sání.

Velkou výhodou šroubových kompresorů je tichý a klidný chod, nevyžadující základy. V porovnání s pístovými kompresory mají šroubové kompresory menší zastavěný prostor. Nemají pracovní ventily a rotační charakter pohybu oproti vratnému přispívá k vyšší spolehlivosti a snižuje nároky na údržbu.

Za určitou nevýhodu lze považovat vestavěný kompresní poměr a u středních a malých kompresorů potřebu zařazení převodu do rychla (u pohonu elektrickým motorem). Další nevýhodou je vysoká náročnost na přesnost výroby.

3. POHON KOMPRESORU ELEKTROMOTOREM

3.1 Výpočet elektromotoru

Výkon elektromotoru určíme z efektivního příkonu kompresoru.

Příkon, který musíme přenést na hřídel kompresoru, je příkon efektivní. Můžeme jej určit buď z teoretické práce izotermické nebo adiabatické, podle charakteru komprese. Komprese vzduchu, při níž se do kompresního prostoru nastrikuje chladící olej, se svým charakterem blíží k izotermické komprezi.

Seznam základních značení

značka jedn. název

| | | |
|--------------|------------------------|---|
| P_{ef} | [W] | efektivní příkon kompresoru |
| P_{is} | [W] | teoretický příkon kompresoru z rovnice pro práci izotermickou |
| P_{ad} | [W] | teoretický příkon kompresoru z rovnice pro práci adiabatickou |
| P_{elm} | [W] | výkon elektromotoru |
| p | [Pa] | tlak |
| \dot{V} | [$m^3 \cdot s^{-1}$] | objemový průtok plynu |
| γ | [-] | adiabatický exponent = $\frac{C_p}{C_v}$ |
| η_{cis} | | celková účinnost izotermická |
| η_{cad} | | celková účinnost adiabatická |
| η_p | | účinnost převodu klinovými řemeny |
| \dot{V}_N | [$m^3 \cdot s^{-1}$] | výkonnost kompresoru, t.j. nasávané [$m^3 \cdot h^{-1}$] |
| | | množství vzduchu při - $p = 101325 \text{ Pa}$ - $T = 273 \text{ K}$ |

Teoretický příkon kompresoru

- z rovnice pro práci izotermickou

$$P_{is} = p_1 \cdot V_1 \cdot \ln \pi \quad [W]$$

$$p_1 = 101\ 325 \text{ Pa} \quad \dot{V}_N = 42,26 \text{ m}^3 \cdot \text{h}^{-1} \text{ (kap. 8.2)}$$

$$T_1 = 273 + 40 = 313 \text{ K} \quad p_2 = 0,8 \text{ MPa}$$

$$\dot{V}_1 = \dot{V}_N \cdot \frac{T_1}{T_0} = 42,26 \cdot \frac{313}{273} = 48,4 \text{ m}^3 \cdot \text{h}^{-1}$$

$$\dot{V}_1 = 1,34 \cdot 10^{-2} \text{ m}^3 \cdot \text{s}^{-1}$$

$$\pi = \frac{p_2}{p_1} = 7,895$$

$$P_{is} = 101325 \cdot 1,34 \cdot 10^{-2} \cdot \ln 7,9$$

$$P_{is} = 2816,3 \text{ W}$$

- z rovnice pro práci adiabatickou

$$P_{ad} = \frac{\kappa}{(\kappa - 1)} \cdot p_1 \cdot V_1 \cdot \left[\frac{\frac{(\kappa - 1)}{\kappa}}{\pi} - 1 \right] \quad [W]$$

$$\kappa = 1,4 \text{ pro vzduch}$$

$$P_{ad} = \frac{1,4}{(1,4 - 1)} \cdot 101325 \cdot 1,34 \cdot 10^{-2} \cdot \left[\frac{\frac{1,4 - 1}{1,4}}{7,9} - 1 \right] \quad [W]$$

$$P_{ad} = 3825,2 \text{ W}$$

Efektivní příkon kompresoru

$$P_{ef} = \frac{P_{is}}{\eta_{cis}} = \frac{P_{ad}}{\eta_{cad}}$$

$$\eta_{cis} = 50\% \quad \eta_{cad} = 70\%$$

$$P_{ef} = \frac{P_{is}}{\eta_{cis}} = \frac{2816,3}{0,5} = 5632,6 \text{ W}$$

$$P_{ef} = \frac{P_{ad}}{\eta_{cad}} = \frac{3825,2}{0,7} = 5464,6 \text{ W}$$

Určení výkonu elektromotoru

- výkon elektrického motoru se volí asi o 15% vyšší než efektivní příkon kompresoru. V úvahu se musí brát také účinnost řemenového převodu, která bývá 90 až 95%.

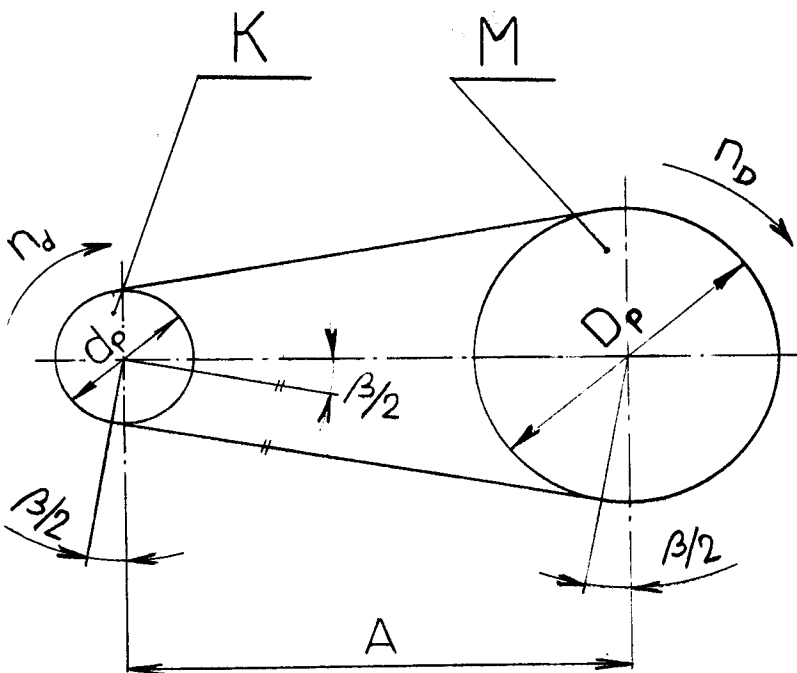
$$P_{elm} = 1,15 \cdot \left[\frac{P_{ef}}{\eta_p} \right] = 1,15 \cdot \left[\frac{5632,6}{0,9} \right]$$

$$P_{elm} = 7197 \text{ W}$$

Výrobce doporučuje používat elektrický motor o výkonu 7,5 kW.

Závěr: Pro pohon kompresoru výkonu $42,26 \text{ m}^3 \cdot \text{h}^{-1}$ vyhovuje zvolený elektrický motor o výkonu 7,5 kW.

3.2 Výpočet řemenového převodu



Obr. 2

K - šroubový kompresor NK-40

M - elektrický motor

Dáno:

- $\dot{V}_N = 40 \text{ m}^3 \cdot \text{h}^{-1}$ vzduchu
- $p = 0,7 \text{ MPa}$ absolut.
- $n_d = 4680 \text{ min}^{-1}$ dle diagramu
- $d_p = 106 \text{ mm}$ (řemenici dodává výrobce jako součást kompresoru \rightarrow průřez řemene)
- řemen průřezu SPZ - provozní podmínky:
 - $t = -30^\circ\text{C}$ až $+60^\circ\text{C}$
 - $\varphi = 65\% \pm 15$

Voleno:

- elektromotor = dvoupólový stroj 4AP132S-2
 - $P = 7,5 \text{ kW}$
 - $n_B = 2910 \text{ min}^{-1}$
 - $M_z/M_n = 2,2$
 - $m = 67,7 \text{ kg}$
 - startový proud = 15,5A (380V)

Převodový poměr - i

$$i = \frac{n_d}{n_p} = \frac{4680}{2910}$$

$$i = 1,606$$

Výpočtový ϕ hnané řemenice - D_p

$$\frac{n_d}{n_p} = \frac{D_p}{d_p} \Rightarrow D_p = \frac{n_d}{n_p} \cdot d_p = i \cdot d_p$$

$$D_p = \frac{4680}{2910} \cdot 106 = 170,47$$

$$D_p = 172 \text{ mm}$$

Výpočtová délka řemene - L_p

- voleno $A = 385 \text{ mm}$

$$\beta = 2 \cdot \text{arc sin} \frac{D_p - d_p}{2A}$$

$$\beta = 2 \cdot \text{arc sin} \frac{172 - 106}{2 \cdot 385} = 9,84^\circ$$

$$L_{pv} = 2 \cdot A \cdot \cos \frac{\beta}{2} + 0,5 \cdot \pi \cdot (D_p + d_p) + \beta \cdot (D_p - d_p)$$

$$L_{pv} = 2 \cdot 385 \cdot \cos 4,92 +$$

$$+ 0,5 \cdot \pi \cdot (172 + 106) + \frac{\pi \cdot 9,84}{180} \cdot (172 - 106)$$

$$L_{pv} = 1214,8 \text{ mm}$$

dle katalogu BARUM volena pro průřez řemene SPZ výpočtová délka řemene $L_p = 1212 \text{ mm} \rightarrow L_a = 1225 \text{ mm.}$

Skutečná vzdálenost řemenic - A

$$A = p + \sqrt{p^2 - q}$$

$$p = 0,25 \cdot L_p - 0,393 \cdot (D_p + d_p)$$

$$p = 0,25 \cdot 1212 - 0,393 \cdot (172 + 106)$$

$$p = 193,75$$

$$q = 0,125 \cdot (D_p - d_p)^2$$

$$q = 0,125 \cdot (172 - 106)^2$$

$$q = 544,5$$

$$A = 193,75 + \sqrt{193,75^2 - 544,5}$$

$$A = 386 \text{ mm}$$

Meze pro přestavení osové vzdálenosti řemenic

- pro napínání klínových řemenů

$$x \geq 0,03 \cdot L_p$$

$$x \geq 0,03 \cdot 1212$$

$$x \geq 36,4 \text{ mm}$$

- pro nasazování klínových řemenů

$$y \geq 0,015 \cdot L_p$$

$$y \geq 0,015 \cdot 1212$$

$$y \geq 18,1 \text{ mm}$$

Rychlosť klínového řemene - v

$$v = \pi \cdot d_p \cdot n_d \quad v_{\max} = 35 \text{ m} \cdot \text{s}^{-1}$$

$$v = \pi \cdot 0,106 \cdot \frac{4680}{60}$$

$$v = 26 \text{ m} \cdot \text{s}^{-1}$$

$v < v_{\max}$ \rightarrow řemen SPZ vyhovuje

Počet řemenů - z

- je dán počtem drážek v řemenici dodávané výrobcem kompresoru $z=2$
- kontrola

$$z = \frac{(P \cdot c_2)}{(P_r \cdot c_1 \cdot c_3)}$$

$c_1 = 0,98$

c_1 - součinitel úhlu opásání

$c_2 = 1,1$

c_2 - součinitel provoz. zatížení

$c_3 = 0,95$

c_3 - součinitel délky řemene

$P_r = 6,37 \text{ kW}$

P_r - tabulkový přenášený výkon jedním řemensem

$$z = \frac{(7,5 \cdot 1,1)}{(6,37 \cdot 0,98 \cdot 0,95)}$$

$z = 1,34 < 2 \rightarrow$ řemeny SPZ vyhovují

Řemen

2 ks řemene SPZ - 1225 L_a 1 sada po 2 kusech

4. NÁVRH CHLADIČE A VENTILÁTORU

4.1. Popis vzduchového chladiče a ventilátoru pro chlazení komprimovaného vzduchu a mazacího oleje kompresoru

Pro chlazení komprimovaného vzduchu a mazacího oleje je použit kombinovaný chladič vzduchu a oleje RC-11, který vyrábí s.p. Autopal Nový Jičín. Tento chladič se používá pro chlazení komprimovaného vzduchu a mazacího oleje u šroubového kompresoru RC-11, t.j. ke stejnemu účelu jako při řešení kompresorové jednotky ve VÚPCHT Hradec Králové. Výkres a technické podmínky chladiče jsou v příloze.

Pro průtok chladicího vzduchu je použit ventilátor firmy Rotorcomp, Mnichov, SRN. Pro pohon ventilátoru je možné vhodným konstrukčním řešením využít elektromotor, kterým je poháněn kompresor.

4.2. Výpočet výkonu chladiče

Seznam zákl. značení

značka jednotky název

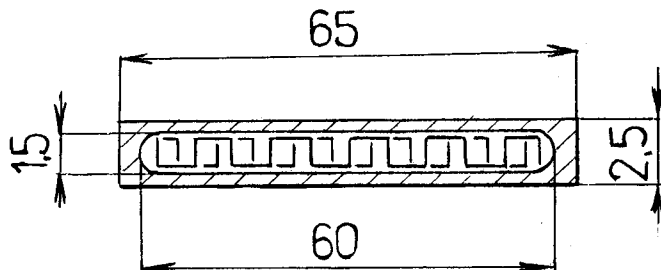
| | | |
|-----------------|-------------------------------------|---------------------------------------|
| p | Pa | tlak |
| Q | W | tepelný tok |
| c _p | J·kg ⁻¹ ·K ⁻¹ | měrná tepelná kapacita při p = konst. |
| α | W·m ⁻² ·K ⁻¹ | součinitel přestupu tepla |
| λ | W·m ⁻¹ ·K ⁻¹ | součinitel tepelné vodivosti |
| t | °C | teplota |
| T | K | absolutní teplota |
| S _{pr} | m ² | průtočná plocha |
| S | m ² | teplosměnná plocha |
| l | m | charakteristický rozměr |
| L | m | délka |
| O | m | obvod průtočného průřezu |
| V | m ³ | objem |
| ·V | m ³ ·s ⁻¹ | objemový průtok |
| ·m | kg·s ⁻¹ | hmotnostní průtok |
| γ | K ⁻¹ | součinitel objemové roztažnosti |

| | | |
|--------|----------------------------------|-----------------------|
| ρ | $\text{kg} \cdot \text{m}^{-3}$ | měrná hmotnost |
| η | $\text{Pa} \cdot \text{s}$ | dynamická viskozita |
| ν | $\text{m}^2 \cdot \text{s}^{-1}$ | kinematická viskozita |
| n | - | počet sekcí chladiče |
| Nu | - | Nusseltovo číslo |
| Re | - | Reynoldsovo číslo |
| Gr | - | Grashoffovo číslo |
| Pr | - | Prandtlovo číslo |

4.2.1. Specifikace rozměrů chladiče

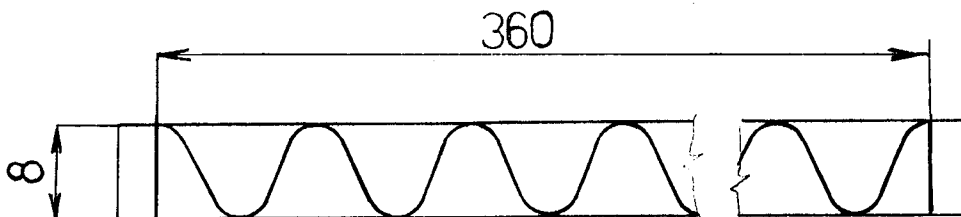
a) olejová sekce

- chlazený olej - 22 sekcí, délka $L = 360$ mm



Obr. 3

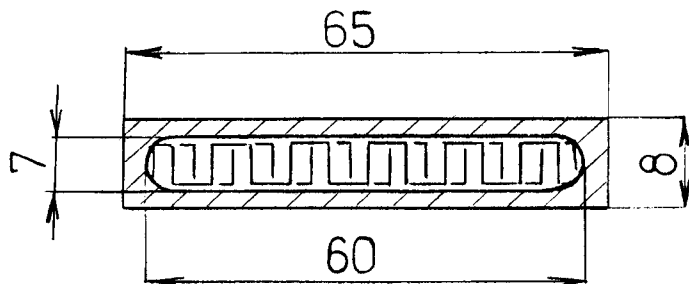
- chladící vzduch - 23 sekcí, hloubka = 65 mm



Obr. 4

b) vzduchová sekce

- chlazený vzduch - 6 sekcí



Obr. 5

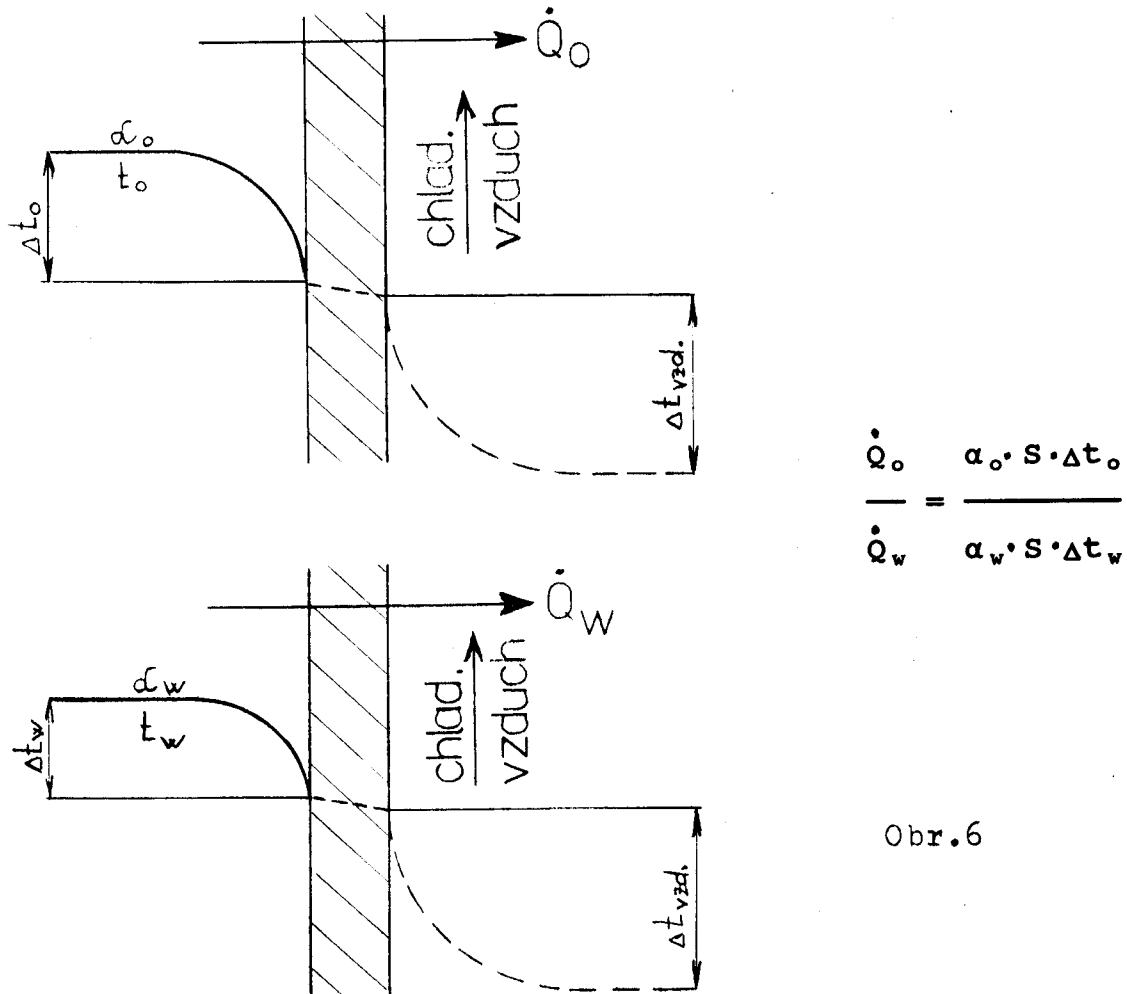
- chladící vzduch - 7 sekcí

tvar jako chladící vzduch v olejové sekci

4.2.2. Popis výpočtu

Z důvodů složitého tvaru teplosměnné plochy chladiče RC-11, je provedena kontrola výkonu chladiče porovnáním vypočtených součinitelů přestupu tepla na vnitřní (tlačkové) straně výměníku.

Výpočtem byl určen součinitel přestupu tepla z vody do stěny pro parametry chladiče dané výrobcem (při zkoušce chladiče vodou) a součinitel přestupu tepla z oleje do stěny pro předpokládané max. teploty oleje. V obou případech byly předpokládány stejné rychlosti chladícího vzduchu, pouze teplota tohoto vzduchu byla pro výpočet výkonu chladiče použitá ke chlazení oleje zvýšena o 10°C , tj. na $t = 40^{\circ}\text{C}$ (z důvodu nasávání vzduchu ventilátorem z uzavřené skříně).



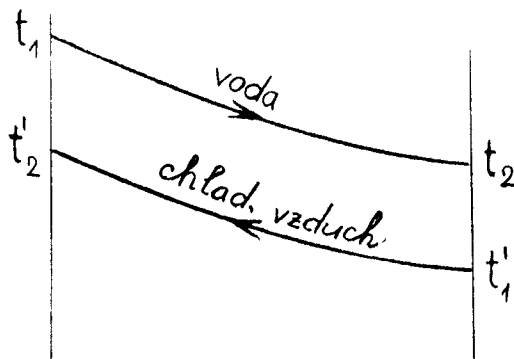
Obr.6

4.2.3 Výpočet olejové sekce chladiče RC-11

1. Výpočet přestupu tepla z vody do stěny chladiče α_w

Parametry chladiče dané výrobcem:

- chlazené médium - voda
- tepelný výkon - $\dot{Q}_w = 17000 \text{ W}$
- teplota vstupní vody - $t_1 = 90^\circ\text{C}$
- průtok vody - $\dot{V} = 1800 \text{ l}\cdot\text{hod}^{-1}$
- teplota vzduchu $t'_1 = 30^\circ\text{ C}$
- rychlosť vzduchu $w = 5 \text{ m}\cdot\text{s}^{-1}$



Obr. 7

Fyzikální hodnoty vody při 90°C

- $\rho = 965,3 \text{ kg}\cdot\text{m}^{-3}$
- $\lambda = 0,678 \text{ W}\cdot\text{m}^{-1}\cdot\text{K}^{-1}$
- $\nu = 0,326 \cdot 10^{-6} \text{ m}^2\cdot\text{s}^{-1}$
- $\eta = 308,9 \cdot 10^{-6} \text{ Pa}\cdot\text{s}$
- $P_r = 1,95$
- $c_p = 4200 \text{ J}\cdot\text{kg}^{-1}\cdot\text{K}^{-1}$

- výstupní teplota vody t_2

$$\begin{aligned}\dot{Q}_w &= \dot{m} \cdot c_p \cdot (t_1 - t_2) \\ \dot{m} &= \dot{V} \cdot \rho = 0,5 \cdot 10^{-3} \cdot 965,3 \\ \dot{m} &= 0,43 \text{ kg}\cdot\text{s}^{-1}\end{aligned}$$

$$t_2 = t_1 - \frac{\dot{Q}_w}{(\dot{m} \cdot c_p)} = 90 - \frac{17000}{0,43 \cdot 4200}$$

$$t_2 = 81,5^\circ\text{C}$$

- rychlosť protékajúcej vody

$$w = \frac{\dot{V}}{S_{pr}} = \frac{0,5 \cdot 10^{-3}}{1,98 \cdot 10^{-3}}$$

$$S_{pr} = 22 \cdot 0,06 \cdot 0,0015$$

$$S_{pr} = 1,98 \cdot 10^{-3}$$

$$w = 0,2525 \text{ ms}^{-1}$$

- určení a výpočet Nu kritéria

$$Re = \frac{w \cdot l}{\nu}$$

$$l = \frac{4 \cdot S_{pr}}{0} = \frac{4 \cdot 0,06 \cdot 0,0015}{2 \cdot (0,06 + 0,0015)}$$

$$l = 2,927 \cdot 10^{-3} \text{ m}$$

$$Re = \frac{0,2525 \cdot 2,927 \cdot 10^{-3}}{0,326 \cdot 10^{-6}}$$

$Re = 2267 \rightarrow$ laminární proudění vody trubkou obdélníkového průřezu, pro které je možno použít kritériální rovnici:

$$Nu = 1,86 \cdot \left(Re \cdot Pr \cdot \frac{l}{L} \right)^{0,14} \cdot \left(\frac{\eta}{\eta_s} \right)$$

s platností v mezích:

$$1. \text{ podmínka: } Re \cdot Pr \cdot \frac{l}{L} > 7,17$$

$$2. \text{ podmínka: } 0,004 < \frac{\eta_s}{\eta} < 14$$

η_s = dynamická vizekozita vody při střední teplotě
stěny t_s

$$t_s = \frac{t_1 + t'_1}{2} = \frac{90 + 30}{2} = 60^\circ\text{C}$$

$$\eta_s = 471,7 \cdot 10^{-6} \text{ Pa}\cdot\text{s}$$

η = dynamická vizekozita vody při střední teplotě
tekutiny \bar{t}

$$\bar{t} = \frac{t_1 + t_2}{2} = \frac{90 + 81,5}{2} = 85,8^\circ\text{C}$$

$$\eta = 328,5 \cdot 10^{-6} \text{ Pa}\cdot\text{s}$$

ad.: podmínka 1

$$\frac{1}{L} \cdot \text{Re} \cdot \text{Pr} = \frac{2,927 \cdot 10^{-3}}{0,36} \cdot 2267 \cdot 2,04 \quad \text{Pr} = 2,04 \\ \text{při } 85^\circ\text{C}$$

$$\frac{1}{L} \cdot \text{Re} \cdot \text{Pr} = 37,6 > 7,17 \quad \rightarrow \text{vyhovuje}$$

ad.: podmínka 2

$$0,004 < \frac{\eta_s}{\eta} < 14$$

$$0,004 < \frac{471,7 \cdot 10^{-6}}{328,5 \cdot 10^{-6}} < 14$$

$$0,004 < 1,43 < 14 \quad \rightarrow \text{vyhovuje}$$

$$Nu = 1,86 \left(2267 \cdot 2,04 \cdot \frac{2,927 \cdot 10^{-3}}{0,36} \right)^{\frac{1}{3}} \cdot \left(\frac{328,5 \cdot 10^{-6}}{471,7 \cdot 10^{-6}} \right)^{0,14}$$

$$Nu = 5,9$$

- souč. přestupu tepla α_w

$$Nu = \frac{\alpha_w \cdot l}{\lambda_w}$$

$$\alpha_w = \frac{Nu \cdot \lambda_w}{l} = \frac{5,9 + 0,678}{2,927 \cdot 10^{-3}}$$

$$\alpha_w = 1366,6 \text{ W} \cdot \text{m}^{-2} \cdot \text{K}^{-1}$$

2. Výpočet přestupu tepla z oleje do stěny α_0 , pro předpokládané podmínky:

- předpokládaná max. provozní teplota vystupujícího oleje z kompresoru = 80°C
- průtok oleje při tlaku 0,8 MPa absol. je $14,1 \text{ l} \cdot \text{min}^{-1}$ (tab. naměřených hodnot kapitola 8.3.)
- použitý olej OSK-68
- rozdíl teplot oleje před chladičem a za chladičem ne-bude příliš velký cca $\Delta t_{max} = 10^\circ\text{C}$, protože termostatický směšovací ventil je nastaven výrobcem na 71°C . Jestliže olej dosáhne teploty 71°C , termostatický směšovací ventil jej propustí pouze přes chladič RC-11 (uzavře přímou cestu oleje zpět nad rotory), a proto volíme určující teplotu oleje 80°C .
- rychlosť chladicího vzduchu je stejná jako u zkoušky chladicího výkonu chladiče výrobcem. Jiná je maximální předpokládaná teplota okolí pro uzavřenou skříň kompresorové jednotky. Teplotu předpokládáme 40°C .

- fyzikální hodnoty OSK-68 při $t = 80^\circ\text{C}$

- $\rho = 861 \text{ kg} \cdot \text{m}^{-3}$
- $\lambda = 0,125 \text{ W} \cdot \text{m}^{-1} \cdot \text{K}^{-1}$
- $\nu = 15 \cdot 10^{-6} \text{ m}^2 \cdot \text{s}^{-1}$
- $\eta = \nu \cdot \rho = 1,29 \cdot 10^{-2} \text{ Pa} \cdot \text{s}$
- $c_p = 2090 \text{ J} \cdot \text{kg}^{-1} \cdot \text{K}^{-1}$

- rychlosť protékajúceho oleja trubkou

$$w = \frac{\dot{V}}{S_{pr}} = \frac{2,35 \cdot 10^{-4}}{1,98 \cdot 10^{-3}} \quad \dot{V} = 14,1 \text{ l} \cdot \text{min}^{-1} = \\ = 2,35 \cdot 10^{-4} \text{ m}^3 \cdot \text{s}^{-1}$$

$$w = 0,119 \text{ m} \cdot \text{s}^{-1}$$

- Určení a výpočet Nu kriteria

$$Re = \frac{w \cdot l}{\nu} \quad l = 2,927 \cdot 10^{-3} \text{ m} \doteq 3 \cdot 10^{-3} \text{ m}$$

$$Re = \frac{0,119 \cdot 2,927 \cdot 10^{-3}}{15 \cdot 10^{-6}}$$

$Re = 23,8 \rightarrow$ laminární proudění oleje trubkou obdélníkového průřezu, pro které je možno použít stejné kriteriálne rovnice jako při průtoku trubky vodou.

$$Nu = 1,86 \cdot \left(Re \cdot Pr \cdot \frac{1}{L} \right)^{0,14}$$

s platnosťí v mezích

$$1. \text{ podmínka: } Re \cdot Pr \cdot \frac{1}{L} > 7,17$$

$$2. \text{ podmínka: } 0,004 < \frac{\eta_s}{\eta} < 14$$

$$Pr = \frac{\eta \cdot C_p}{\lambda} = \frac{1,29 \cdot 10^{-2} \cdot 2090}{0,125}$$

$$Pr = 215,7$$

$$Gr = \frac{\gamma \cdot g \cdot l^3 \cdot \Delta t}{\nu^2} = \frac{0,8 \cdot 10^{-3} \cdot (3 \cdot 10^{-3}) \cdot 40}{(15 \cdot 10^{-6})^2}$$

$$\Delta t = t_{o,1} - t_{chlad.vz.} = 80 - 40 = 40^\circ C \quad \gamma = 8 \cdot 10^{-3} \text{ K}^{-1}$$

$$G_r = 37,6 < 25000 \rightarrow G_r \text{ kriterium můžeme zanedbat}$$

$$t_s = \frac{80+40}{2} = 60^\circ C \rightarrow -\nu_s = 30 \cdot 10^{-6} \text{ m}^2 \text{s}^{-1}$$

$$-\dot{Q}_s = 873 \text{ kg} \cdot \text{m}^{-3}$$

$$\eta_s = \nu_s \cdot Q_s = 0,26 \cdot 10^{-1} \text{ Pa} \cdot \text{s}$$

ad 1. podmínka:

$$\frac{1}{L} \cdot Re \cdot Pr = \frac{2,927 \cdot 10^{-3}}{0,36} \cdot 23,8 \cdot 215,7$$

$$\frac{1}{L} \cdot Re \cdot Pr = 40,7 > 7,17 \text{ vyhovuje}$$

ad 2. podmínka:

$$0,004 < \frac{\eta_s}{\eta} < 14$$

$$0,004 < \frac{0,026}{0,0129} < 14$$

$0,004 < 2,02 < 14$ vyhovuje

$$Nu = 1,86 \left(23,8 \cdot 215,7 \cdot \frac{3 \cdot 10^{-3}}{0,36} \right)^{\frac{1}{3}} \cdot \left(\frac{0,0129}{0,026} \right)^{0,14}$$

$$Nu = 5,9$$

- součinitel přestupu tepla α_0 .

$$Nu = \frac{\alpha_0 \cdot l}{\lambda_0} \rightarrow \alpha_0 = \frac{Nu \cdot \lambda_0}{l}$$

$$\alpha_0 = \frac{5,9 \cdot 0,125}{2,927 \cdot 10^{-3}}$$

$$\alpha_0 = 252,1 \text{ W} \cdot \text{m}^{-2} \cdot \text{K}^{-1}$$

3. Výpočet chladícího výkonu olejové sekce pro olej OSK-68

Množství sděleného tepla médiem stěně je dáno vztahem: $\dot{Q} = \alpha \cdot S \cdot \Delta t$.

Pro olejovou sekci při zkoušce vodou udává výrobce výkon $\dot{Q}_w = 17000W$ při teplotě vstupující vody $t_w = 90^\circ C$ a teplotě chladícího vzduchu $t_{vz} = 30^\circ C$. Pro vypočtené α_w můžeme psát:

$$\dot{Q}_w = \alpha_w \cdot S \cdot \Delta t_w$$

$$\alpha = d \cdot S \cdot (t_w - t_{ow})$$

$$\Delta t_w = t_w - t_{vz} = 90 - 30$$

$$\Delta t_w = 60^\circ C$$

$$k = \frac{1}{\frac{1}{d_1} + \frac{1}{d_2} + \frac{1}{d_3}}$$

Předpokládané teploty při chlazení oleje jsou:

- teplota oleje vystupujícího z kompresoru je $t_o = 80^\circ C$,
- maximální teplota chladícího vzduchu $t_{vz} = 40^\circ C$.

Pro výpočet α_o můžeme psát:

$$\dot{Q}_o = \alpha_o \cdot S \cdot \Delta t_o$$

$$\Delta t_o = t_o - t_{vz} = 80 - 40$$

$$\Delta t_o = 40^\circ C$$

Porovnáním hodnot \dot{Q}_w , \dot{Q}_o dostaneme

$$\frac{\dot{Q}_w}{\dot{Q}_o} = \frac{\alpha_w \cdot S \cdot \Delta t_w}{\alpha_o \cdot S \cdot \Delta t_o}$$

$$\dot{Q}_o = \dot{Q}_w \cdot \frac{\alpha_o \cdot \Delta t_o}{\alpha_w \cdot \Delta t_w}$$

$$\dot{Q}_o = 17000 \cdot \frac{252 \cdot 40}{1366,6 \cdot 60} = 2090 W$$

z výpočtu $\dot{Q}_o = 2090 \text{ W}$ vyplývá, že množství tepla předané do stěny chladiče je v případě oleje za předpokládaných teplot a průtoku oleje 8,3-krát nižší než v případě vody, kdy $\dot{Q}_w = 17000 \text{ W}$ při daných podmínkách výrobce.

4. Množství tepla odebraného olejem ze vzduchu při kompresi \dot{Q}_o

Množství tepla odebraného olejem musí být takové, aby výstupní teplota vzduchu a plynu nepřekročila 80°C ,

$$\dot{Q}_o = \dot{m}_{vz} \cdot c_{pvz} (t_1 - t_2)$$

t_1 = kompresní teplota vzduchu

t_2 = výstupní teplota oleje a vzduchu z kompresoru = $= 80^\circ\text{C}$ max.

$$\frac{T_1}{T_2} = \left(\frac{p_1}{p_2} \right)^{\left(\frac{n-1}{n} \right)}$$

pro polytropickou změnu
(dle [6])
je $n = 1,2$

$$T_2 = \left(\frac{p_2}{p_1} \right)^{\left(\frac{n-1}{n} \right)} \cdot T_1$$

index: 1....vstupní vzduch
2....komprimovaný vzduch

$$T_2 = \left[\frac{0,8}{0,1} \right]^{\frac{1,2-1}{1,2}} \cdot 313 \quad T_1 = 273 + 40 = 313 \text{ K}$$

$p_1 = 0,1 \text{ MPa}$
 $p_2 = 0,8 \text{ MPa}$

$$T_2 = 442 \text{ K}$$

$$t_1 = T_2 - 273 = 442 - 273 = 169^\circ\text{C}$$

$$\dot{m}_{vz} = \dot{V} \cdot Q$$

$$\dot{V} = 42 \text{ m}^3 \cdot \text{h}^{-1} = 1,16 \cdot 10^{-2} \text{ m}^3 \cdot \text{s}^{-1}$$

$$Q = 1,252 \text{ kg} \cdot \text{m}^{-3}$$

$$\dot{m}_{vz} = 1,16 \cdot 10^{-2} \cdot 1,252$$

$$\dot{m}_{vz} = 1,46 \cdot 10^{-2} \text{ kg} \cdot \text{s}^{-1}$$

$$c_{pvz} = 1021 \text{ J} \cdot \text{kg}^{-1} \cdot \text{K}^{-1}$$

pro $t = 170^\circ\text{C}$ a $p = 0,8 \text{ MPa}$

$$\dot{Q}_o^! = 1,46 \cdot 10^{-2} \cdot 1021 (169-80)$$

$$\dot{Q}_o^! = 1326 \text{ W}$$

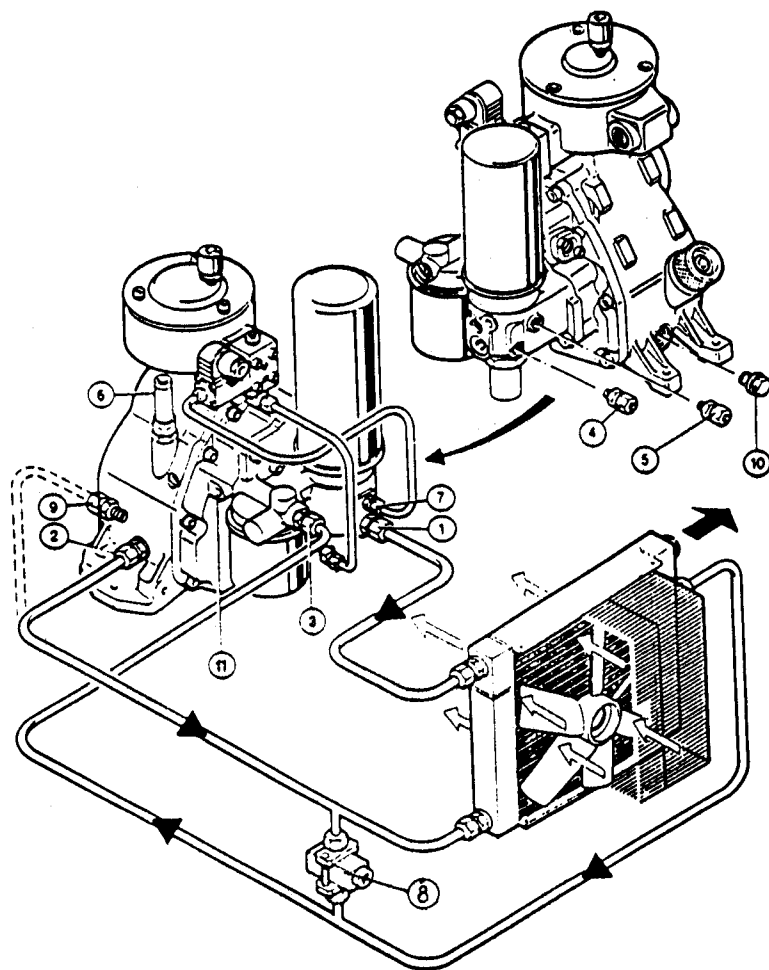
Za předpokladu, že $\dot{Q}_o^! = 1326 \text{ W}$ je všechno teplo, které olej odvádí z komprimovaného vzduchu, pak chladič RC-11 vyhovuje, protože:

$$\dot{Q}_o^! = 1326 \text{ W} < 2090 \text{ W} = \dot{Q}_o$$

Zůstává rezerva 764 W chladícího výkonu, což znamená že chladič RC-11 je pro předpokládané průtoky a teploty oleje o 57,8% výkonnější a je možné ho použít i pro větší výkony kompresoru.

5. CELKOVÉ SCHEMA ZAPOJENÍ

5.1. Schema zapojení kompresoru (dle výrobce)



Obr. 8

- 1 - výstup komprimovaného vzduchu - G $\frac{1}{2}$ "
- 2 - výstup teplého tlakového oleje z olejové vany kompresoru - G $\frac{3}{4}$ ", výstup použit pro jímku teplotního spínače T 23

- 3 - návrat ochlazeného oleje přes čistící filtr k mazání rotorů - G $\frac{1}{2}$ "
- 4 - měření výsledného tlaku komprimovaného plynu kompresoru manometrem - G $\frac{1}{4}$ "
- 5 - tlak před hrubým odlučovačem - G 1/8"
- 6 - pojistný ventil - G $\frac{1}{4}$ "
- 7 - přívod vzduchu pro regulátor sání - G 1/8"
- 8 - termostatický směšovací ventil, který vraci olej zpět na rotory a při přehřátí oleje propouští olej přes olejovou sekci kombinovaného chladiče (max. teplota propouštěného oleje termostatickým ventilem = 71°C)
- 9 - alternativa 2 - G $\frac{1}{2}$ "
- 10 - vypouštění oleje - G $\frac{1}{2}$ ", výstup použit pro výstup teplého oleje
- 11 - šroubení pro teplotní čidlo výtlaku kompresoru - M8x1

5.2. Nezbytné ochrany šroubového kompresoru NK-40

Kompresor musí mít kontrolu a ochranu pracovní teploty, pracovního tlaku a průtoku oleje chladicím okruhem.

5.2.1. Kontrola pracovní teploty kompresoru

Z důvodů tepelných dilatací přesně vyrobených rotorů šroubového kompresoru je zapotřebí kontrolovat teplotu prostoru olejové vany, tj. pracovní teplotu kompresoru. Teplota oleje dle výrobce by neměla přesáhnout 80°C. Proto je použit výstup oleje z olejové vany 2 (dle schématu zapojení kapitola 5.1.) pro jímku teplotního spínače T23, ve které je zabudován snímač teploty. Pro výstup teplého oleje bude použit alternativní výstup oleje 9, což je výhodné i z hlediska konstrukčního propojení chladicího okruhu oleje.

Použit je teplotní spínač T23 typ 61126 pro rozsah 70÷140°C, délky 1,6 m s tykavkou (měděná kapilára na konci opatřená snímačem teploty). Na jímce snímače

teploty je potřeba upravit stávající závit M27 na závit G¾". Napájecí napětí 220V. Dodavatel ZPA Ústí nad Labem.

Při překročení max. teploty pracovního prostoru kompresoru (olejové vany) vyřadí teplotní spínač kompresor z provozu a na ovládacím panelu kompresorové jednotky se rozsvítí světelná kontrolka. Po odstranění závady je nutno pomocí tlačítka kvitace nulovat poruchu, a tím je kompresor připraven pro další provoz.

5.2.2. Kontrola max. tlaku komprimovaného plynu

Výrobce udává max. krátkodobý pracovní tlak kompresoru 1 MPa abs. Kompressor chrání proti překročení prac. tlaku pojistným ventilem (pružinovým) seřízeným na 0,98 MPa abs. Proti překročení prac. tlaku kompresoru je kompresorová jednotka dále vybavena přetlakovým jističem PJ22. Pro připojení přetlakového jističe je využit výstup 5 (dle schema zapojení kapitola 5.1.) před odlučovačem oleje kompresoru NK-40.

Přetlakový jistič PJ 22 (ČSN 354159)

- rozsah 0,6 - 2,25 MPa
- diference 0,2 - 0,7 MPa
- zkušební přetlak 3,35 MPa
- 2A/220V~; 0,1A/220V=
- dodavatel Zbrojovka Brno - Vyškov

Při překročení max. pracovního tlaku kompresoru vyřadí přetlakový jistič PJ22 kompressor z provozu a na ovládacím panelu kompresorové jednotky se rozsvítí světelná kontrolka. Po odstranění závady je nutno pomocí tlačítka kvitace nulovat poruchu, a tím je kompresor připraven pro další provoz.

5.2.3. Kontrola průtoku oleje

Z důvodů zajištění mazání rotorů šroubového kompresoru a jeho chlazení, je nutná pojistka průtoku oleje při

návratu ochlazeného oleje zpět nad rotory.

Pro zajištění průtoku oleje je použita pojistka proti nedostatku vody typ 940.060. Dle výrobce je tuto pojistku možno použít i na průtok oleje, protože pryžové součásti jsou vyrobeny z oleji odolné pryže do teploty 90 °C. (Kontrola pryže v Rubeně Náchod)

Pojistka proti nedostatku vody - typ 940.060

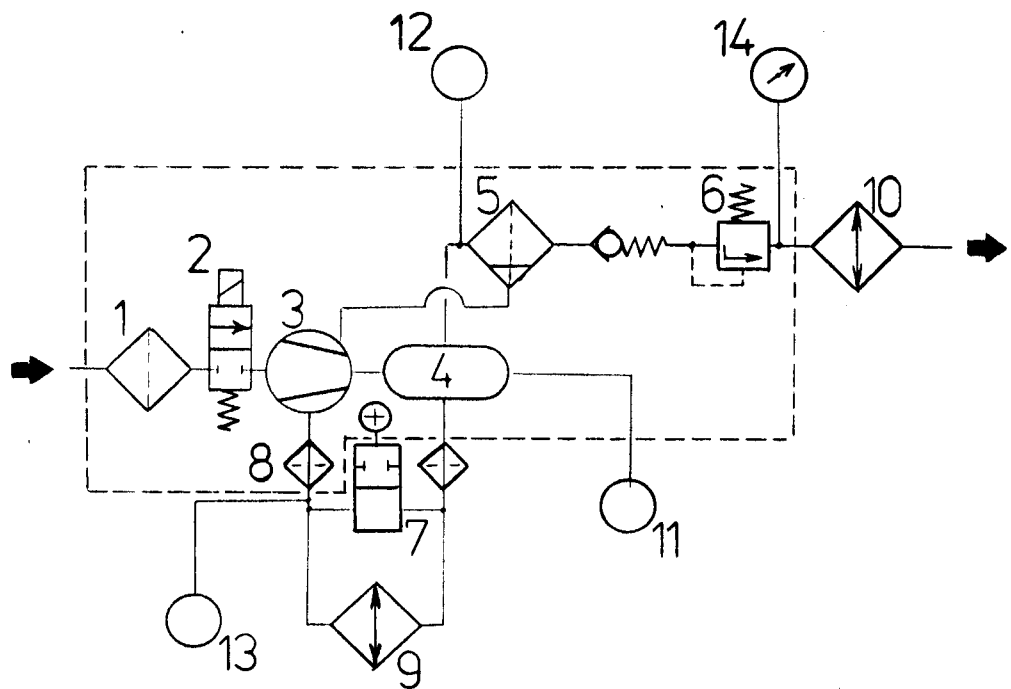
- max. provozní tlak 0,8 MPa
- jmenovitý průtok vody $16,8 \text{ dm}^3 \cdot \text{min}^{-1}$
- 2A/220V~ 50 Hz
- dodavatel ZVS MORAVIA k.p. závod Dvorce

Při případném úniku nebo nedostatku oleje, t.j. snížení průtoku oleje, vyřadí tato pojistka kompresor z provozu. Na ovládacím panelu kompresorové jednotky se rozsvítí světelná kontrolka této poruchy. Po odstranění závady je nutno pomocí tlačítka kvitace nulovat poruchu, a tím je kompresor připraven k dalšímu provozu.

5.3. Skutečné schema zapojení kompresorové jednotky (obr.9)

- 1 - sací filtr
- 2 - regulátor sání
- 3 - kompresor
- 4 - olejová vana
- 5 - odlučovač oleje
- 6 - ventil minimálního tlaku
- 7 - směšovací termostatický ventil oleje
- 8 - olejový filtr
- 9 - chladič oleje (chladič RC-11)
- 10 - chladič komprimovaného vzduchu (chladič RC-11)
- 11 - kontrola pracovní teploty kompresoru
- 12 - kontrola max. tlaku komprimovaného plynu
- 13 - kontrola průtoku oleje
- 14 - manometr 0÷1,6 MPa

Skutečné schema zapojení



Obr. 9

6 . ELEKTROPŘÍSLUŠENSTVÍ

6.1.Rozvaděč

Pro uložení vzájemně propojených elektrosoučástí zajišťujících správnou funkci kompresorové jednotky na výrobu stlačeného vzduchu byla použita rozvaděčová skříň typ IM - 008 - 1128 o rozměrech 340 x 270 x 120 mm výrobce Schrack SRN.Tím se zjednodušila konstrukce kompresorové skříně o výrobu původně plánované skříně rozvaděče pouze na výrobu jeho uchycení.(viz 1-VKR-196)

6.2.Seznam elektrosoučástí

ovládacího panelu:

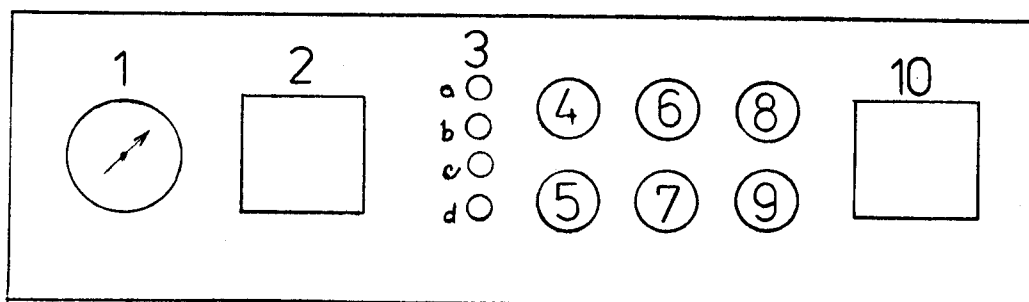
- 1 ks vypínač VS-25 = hlavní vypínač
- 6 ks ovladačů pomocných obvodů T 6
 - 3 ks hlavice A (tlačítka)
 - 3 ks spínací jednotka
 - 3 ks hlavice E (signálky)
 - 3 ks objímka se žárovkou
- 4 ks dioda LED prům.10 mm s objímkou=specifikace poruch
- 1 ks součtové hodiny 220-240 V, stř.proud , 50 Hz, typu Schrack
- 1 ks ovládací panel

rozvaděče :

- 3 ks vzduchový stykač V25E/220V stř.= přepínání hvězda - trojúhelník
- 1 ks časové relé - typ ZR 0410 B7 (Schrack) s pracovním rozsahem 1-10 sec.= ovládací relé vzduchového stykače pro přepínání hvězda - trojúhelník, z důvodu menšího záběrového proudu při rozběhu elektromotoru.
- 1 ks třífázový jistič 25 A (Schrack) pro jištění elektrického přívodu do rozvaděče
- 1 ks jednopólový jistič 2 A pro jištění ovládacích obvodů

- 1 ks jistící nadproudové relé R 102 , 15 A, pro ochranu el.motoru proti nadproudovému(teplnému) přetížení
- 5 ks relé RP-700 P6/24 V, jako pomocné ovládací relé
- 5 ks patice ZCU (zásuvka pro relé)
- 1 ks transformátor 220/24V, 50 VA, pro napájení pomocných obvodů
- 4 ks dioda KY 710 jako usměrňovač napětí 24 V
- 22 ks dioda KY 132/150 (ovládací logika)
- 8 ks vývodka P 16
- 10 ks vývodka P 13,5
- 1 ks řadová svorkovnice
- 10 m přívodní kabel G 4x4 C
- 1 ks třífázová vidlice

6.3.Ovládací panel



Obr.10

1-výstupní tlak

(manometr typ 358/2, rozsah 0-1,6 MPa)

2-doba provozu (součtové hodiny)

3-specifikace poruch

a)rozepnutí tepelné ochrany el.motoru

b)překročení pracovního tlaku kompresoru

- c) překročení teploty kompresoru
 - d) nedostatečná cirkulace oleje
- 4-signalizace poruchy kompr.jednotky
5-tlačítko kvitace poruchy a kontrola signálek
6-signalizace, kompr. jednotka připravena k provozu
7-tlačítko start (spuštění kompr.jedn.)
8-signalizace provozu kompr.jedn.
9-tlačítko STOP(vyřazení kompr.jedn. z provozu)
10-hlavní vypínač přívodu elektr.napětí do kompr.jedn.

6.4.Uvedení kompresorové jednotky do provozu (dle obr.10)

a) spuštění :

- 1.Zapnout hlavní vypínač(10), rozsvítí se signalizace PŘIPRAVENO (6)
- 2.Stisknout tlačítko START(7), zhasne signalizace PŘIPRAVENO (6) a rozsvítí se signalizace PROVOZ (8). Tím je kompr.jednotka uvedena do provozu.

b) normální provoz

Provoz kompresorové jednotky je chráněn pomocí blokovacích systémů proti provozním poruchám.Tím se snižují nároky na obsluhu.Jednotka je automaticky vyřazena z provozu,kdykoliv dojde k překročení jednotlivých mezních parametrů kterékoli ochrany kompresoru nebo el.motoru.

c) poruchy

- překročení hodnoty tepelné ochrany (3a)
- překročení maximáln.tlaku na výstupu z kompresoru 0.9 MPa (3b)
- překročení max.teploty oleje v kompresoru 80°C. (3c)
- nedostatečná cirkulace oleje (3d)

d) uvedení do provozu po poruše

Další uvedení do provozu je možné provést po

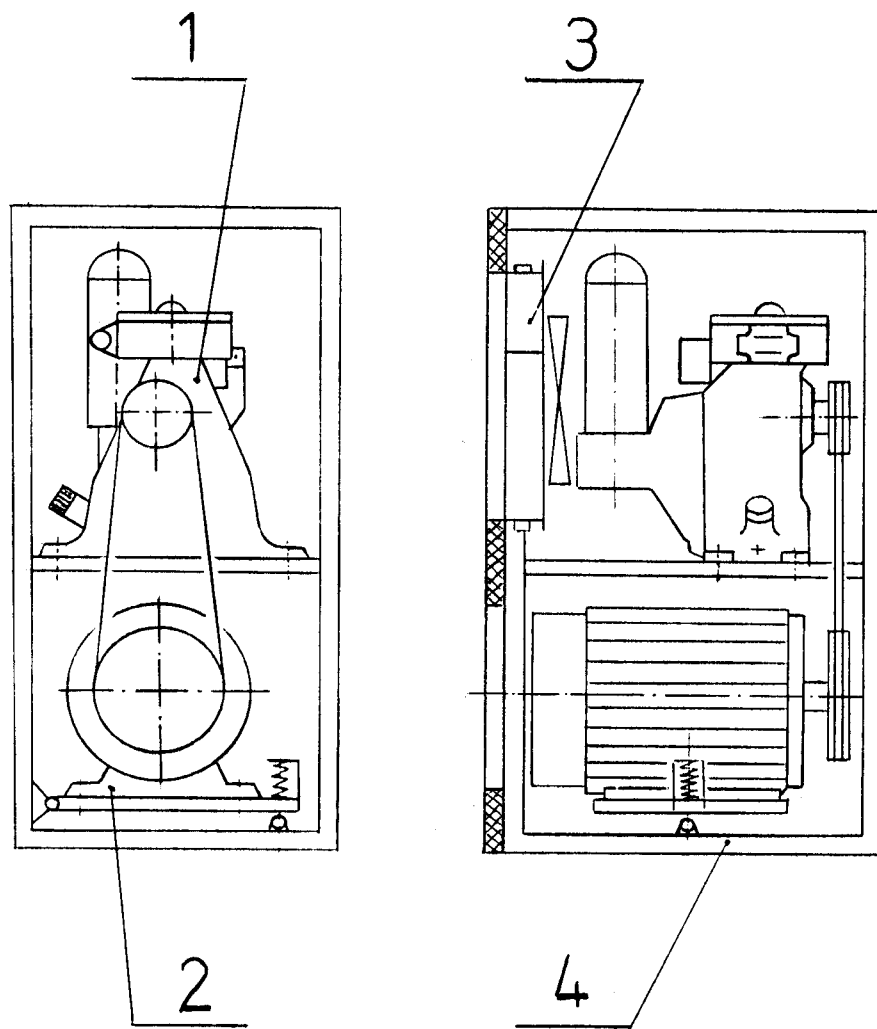
vyhodnocení a odstranění příčiny poruchy, následujícím způsobem :

- stisknout tlačítko KVITACE(5), zhasne PORUCHA(4) a rozsvítí se PŘIPRAVENO (6)
- stisknout START(7), zhasne PŘIPRAVENO (6) a rozsvítí se PROVOZ (8)

7. KONSTRUKČNÍ ŘEŠENÍ KOMPRESOROVÉ JEDNOTKY

7.1. Možnosti uspořádání kompresorové jednotky

a) Uspořádání kompresor x el.motor nad sebou



Obr.11

1-šroubový kompresor
2-el.motor

- 3-chladič komprimovaného vzduchu a mazacího oleje kompresoru
- 4-rám kompresorové jednotky

Výhody :

- napínání řemenu hmotností el.motoru
- prokluz řemenu při přetížení (zajištěný pružinou)
- zastavěná menší půdorysná plocha

Nevýhody:

- pro chlazení vzduchu a oleje nutný samostatný pohon ventilátoru

b) Uspořádání kompresor x el.motor vedle sebe

(obr. 12)

- 1-šroubový kompresor
- 2-el.motor
- 3-chladič komprimovaného vzduchu a mazacího oleje
- 4-rám kompresorové jednotky

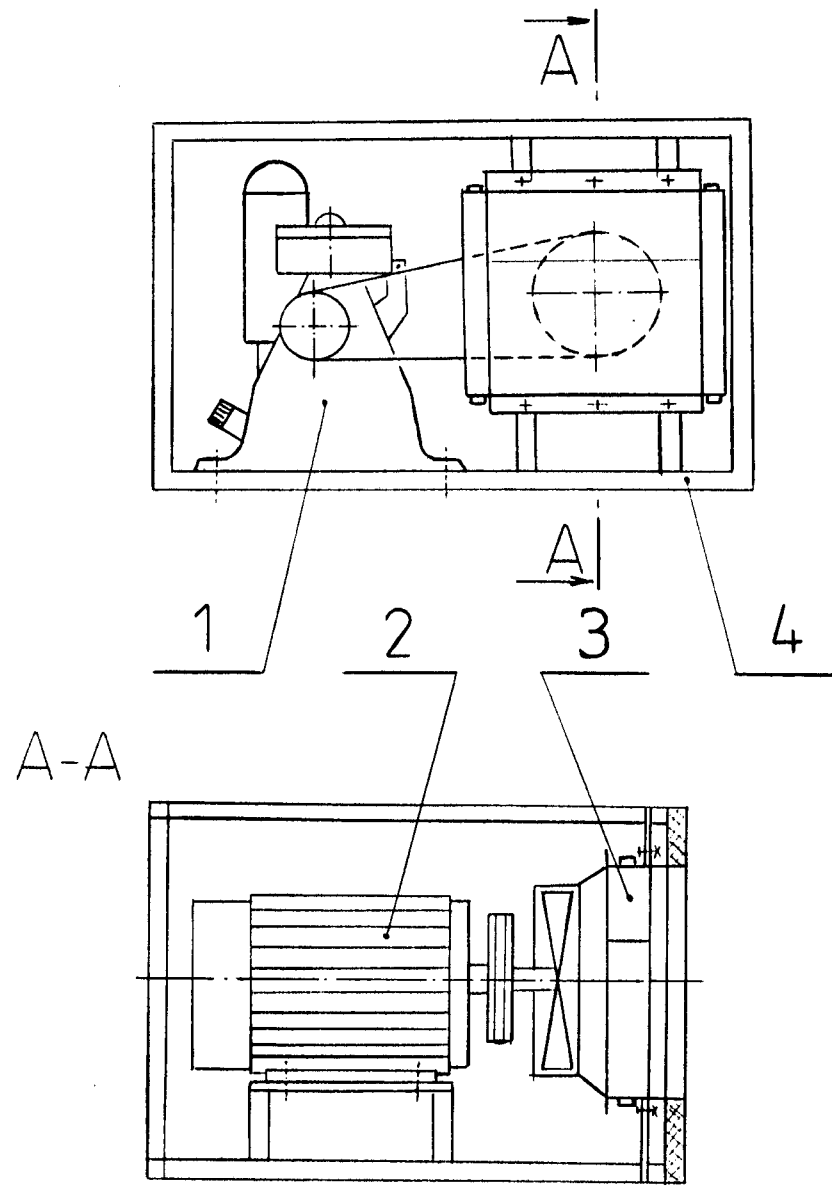
Výhody :

- jednodušší výroba
- možnost montáže ventilátoru na el.motor (bez dalšího pohonu)

Nevýhody :

- zastavěná větší půdorysná plocha
- pro napínání řemenu nutná samostatná konstrukce napínáku
- množství chladicího vzduchu je dáno otáčkami el.motoru

Uspořádání kompresor x el. motor vedle sebe



Obr.12

7.2. Volba a popis uspořádání kompresorové jednotky

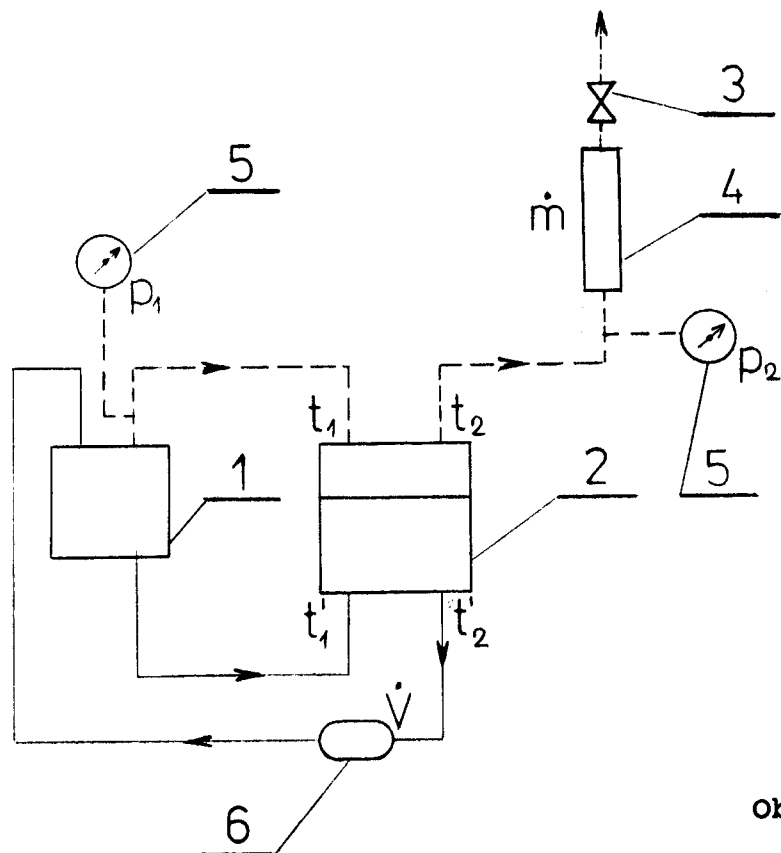
Z důvodu možnosti pohonu ventilátoru a kompresoru jedním el.motorem bylo vybráno uspořádání kompresor x motor vedle sebe. Dalším důvodem byla jednodušší výroba skříně kompresorové jednotky, a tím snížení nákladů při výrobě. Všechny části kompresorové jednotky pro výrobu tlakového vzduchu jsou uzavřeny ve skříni, kterou tvoří ocelový rám opláštovaný plechovými panely s protihlukovou izolací Izomat (příl.).

Kompresorová jednotka je určena pro bezzákladovou montáž i ve vyšších podlažích. Je uložena na pryžokovových pružinách, které tlumí vibrace do okolí. Z důvodů nasávání vzduchu pro komprezi a chlazení komprimovaného vzduchu a mazacího oleje dnem skříně je kompresorová jednotka postavena na plechové vaně, která zabraňuje vnikání hrubých nečistot do prostoru skříně. Odvod chladícího vzduchu je zajištěn propojením chladiče a krycího panelu, který je upraven pro připojení vzduchotechnického potrubí dle ČSN 12 05 05.

Vlastní konstrukce kompresorové jednotky je doložena výkresovou dokumentací dle sestavného výkresu 1-VKR-196 a kusovníku K - VKR - 196.

8. PROVOZNÍ MĚŘENÍ NA PROTOTYPU

8.1. Schema zapojení chladicího okruhu pro měření parametrů



Obr.13

- - - - - okruh komprim.vzduchu

 okruh tlakového oleje

1-kompresor NK-40

2-chladič kompr.vzduchu a oleje RC-11

3-škrtící ventil

4-hmotnostní průtokoměr pro měření průtoku
vzduchu - kalibrován na Helium při :

- 8.4 bar absol.

- T = 300K

- $\dot{m}_{max} = 10 \text{ g}\cdot\text{s}^{-1}$ helium

- vyrobeno v SRN firmou F+P GmbH

5-manometr 0-1.6MPa

6-objemový průtokoměr oleje typ Öl 1 R7/F7

- \dot{V} max = 20 l·min. $^{-1}$

- vyrobeno v SRN firmou BOB+REUTHER
GmbH

Pro měření teplot komprimovaného vzduchu t_1, t_2 , mazacího oleje t'_1, t'_2 , v chladícím okruhu a pro měření rychlosti chladicího vzduchu byl použit kombinovaný měřicí přístroj THERM SYSTÉM - 2253-2:

- rozsah měřicích teplot -100°C až 1370°C

- rozsah pro měření rychlosti 0,4 až 40 m.sec $^{-1}$

- vyrobeno v SRN

8.2. Měření vzduchové sekce (tab.1)

- teplota okolí = 25 °C

- barometrický tlak = 0,1 MPa

- schéma měření obr.12

| H O D N O T Y | | | | | | | | |
|-----------------|----------------|-------------------|----------------|----------------|-------------------|----------------|----------------|------------|
| N A M Ě R E N É | | | | | S K U T E Č N É | | | Δt |
| přetlak | | He | vst. | výst. | vzd. | vst. | výst. | |
| p ₁ | p ₂ | ṁ | t ₁ | t ₂ | ṁ ₂ | t ₁ | t ₂ | |
| MPa | MPa | g.s ⁻¹ | °C | °C | g.s ⁻¹ | °C | °C | °C |
| 0,55 | 0,2 | 9,4 | 45 | 30,5 | 14,8 | 47,9 | 33,4 | 14,5 |
| 0,56 | 0,5 | 6,6 | 45,9 | 30,5 | 14,7 | 48,8 | 33,4 | 15,4 |
| 0,7 | 0,7 | 5,7 | 46,3 | 31,1 | 14,6 | 49,2 | 34 | 15,2 |
| 0,8 | 0,8 | 5,4 | 48 | 31,5 | 14,7 | 50,9 | 34,4 | 16,5 |

Tabulka 1

Přepočet hmotnostního průtoku z naměřených hodnot na skutečný průtok plynu, v tomto případě vzduchu:

$$(1) \dot{m}_2 = \dot{m}_1 \cdot \sqrt{\frac{Q_{02}}{Q_{01}} \cdot \frac{p_2}{p_1} \cdot \frac{T_1}{T_2}} \quad [\text{g.s}^{-1}]$$

index - 1 ... Kalibrační plyn = Helium

- 2 ... Měřený plyn = vzduch

$Q_{02} = 1,252 \text{ kg.m}^{-3}$ = konst. při 0°C, 760 torr

$Q_{01} = 0,1785 \text{ kg.m}^{-3}$ = konst. při 0°C, 760 torr

$$T_2 = 273,15 + 31 = 304,15 \text{ K} \stackrel{!}{=} \text{konst.}$$

$$T_1 = 300 \text{ K} = \text{konst.}$$

p_2 = dle tab. naměř. hodnot MPa absolut.

$p_1 = 0,84 \text{ MPa absolut.}$

\dot{m}_2 = skutečný hmotn.průtok vzduchu g.s^{-1}

\dot{m}_1 = hmotnostní průtok dle tab. 1 (naměř.) g.s^{-1}

Úprava vztahu (1) dosazením hodnot, které jsou konstantní.

$$\dot{m}_2 = \dot{m}_1 \cdot \sqrt{\frac{1,252}{0,1785} \cdot \frac{p_2}{0,84} \cdot \frac{300}{304,15}}$$

$$\dot{m}_2 = \dot{m}_1 \cdot \sqrt{8,236 \cdot p_2} \quad [\text{g.s}^{-1}]$$

Přepočet hmotnostního průtoku na objemový průtok v $[\text{m}^3 \cdot \text{h}^{-1}]$

$$\dot{V}_2 = \frac{\dot{m}_2}{Q_{\circ 2}} \cdot 10^{-3} \cdot 3600 \quad [\text{m}^3 \cdot \text{h}^{-1}]$$

$$p_2 = 0,2 + 0,1 = 0,3 \text{ MPa}$$

$$\dot{m}_2 = 9,4 \cdot \sqrt{8,236 \cdot 0,3} = 14,776 \text{ g.s}^{-1}$$

$$\dot{V}_2 = 42,49 \text{ m}^3 \cdot \text{h}^{-1}$$

$$p_2 = 0,5 + 0,1 = 0,6 \text{ Mpa}$$

$$\dot{m}_2 = 6,6 \cdot \sqrt{8,236 \cdot 0,6} = 14,672 \text{ g.s}^{-1}$$

$$\dot{V}_2 = 42,19 \text{ m}^3 \cdot \text{h}^{-1}$$

$$p_2 = 0,7 + 0,1 = 0,8 \text{ MPa}$$

$$\dot{m}_2 = 5,7 \cdot \sqrt{8,236 \cdot 0,8} = 14,631 \text{ g.s}^{-1}$$

$$\dot{V}_2 = 42,07 \text{ m}^3 \cdot \text{h}^{-1}$$

$$p_2 = 0,8 + 0,1 = 0,9 \text{ MPa}$$

$$\dot{m}_2 = 5,4 \cdot \sqrt{8,236 \cdot 0,9} = 14,702 \text{ g.s}^{-1}$$

$$\dot{V}_2 = 42,27 \text{ m}^3 \cdot \text{h}^{-1}$$

Průměrný výkon kompresoru NK-40 dle měření :

$$\dot{V}_N = \sum_{1}^n \cdot \dot{V}_2 \cdot \frac{1}{n}$$

$$\dot{V}_N = \frac{42,49+42,19+42,07+42,27}{4} = 42,26 \text{ m}^3 \cdot \text{h}^{-1}$$

Tento výkon je o $2,26 \text{ m}^3 \cdot \text{h}^{-1}$, t.j.o 5,4 % vyšší než navrhovaný výkon kompresoru.

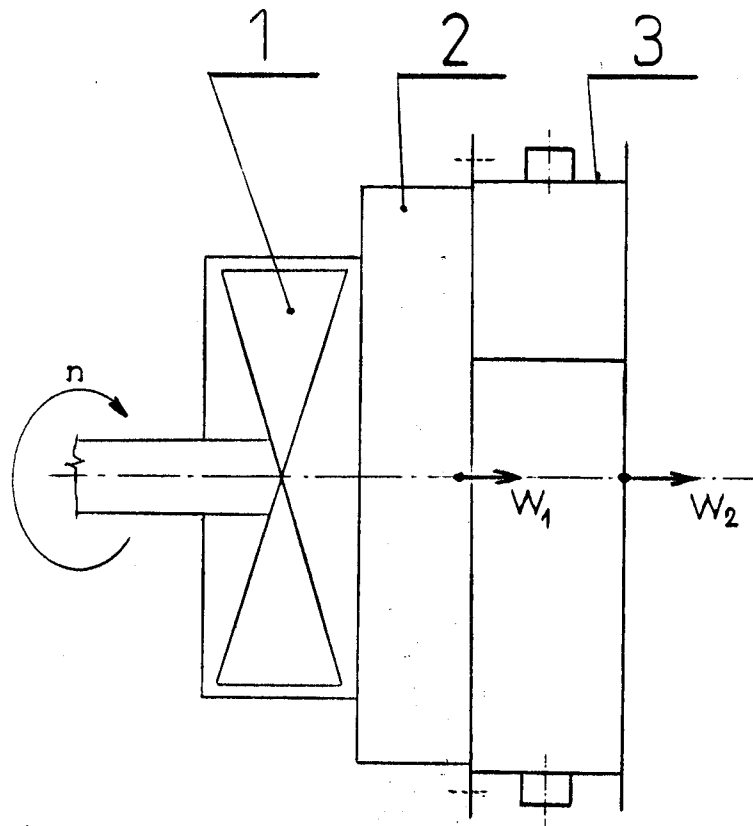
8.3. Měření olejové sekce tab.č.2

- teplota okolí 25°C
- schema měření obr.13

| H O D N O T Y | | | | | | | | | |
|-----------------|----------------|---------------------|------|-------|---------------------------------|------|-----------------|-----|----|
| N A M Ě R E N É | | | | | | | S K U T E Č N É | | 4t |
| přetlak | | olej | vst. | výst. | olej | vst. | výst. | | |
| p ₁ | p ₂ | •V | t'₁ | t'₂ | •V ₂ | t'₁ | t'₂ | | |
| MPa | MPa | l·min ⁻¹ | °C | °C | m ³ ·s ⁻¹ | °C | °C | °C | |
| 0,55 | 0,2 | 12,7 | 48 | 40,7 | 2,12. ·10 ⁻⁴ | 48,5 | 41,2 | 7,3 | |
| 0,56 | 0,5 | 12,9 | 48,9 | 41,7 | 2,15. ·10 ⁻⁴ | 49,4 | 42,2 | 7,2 | |
| 0,7 | 0,7 | 14,1 | 49,6 | 43,0 | 2,35. ·10 ⁻⁴ | 50,1 | 43,5 | 6,6 | |
| 0,8 | 0,8 | 15,2 | 50,5 | 44,6 | 2,7. ·10 ⁻⁴ | 51,0 | 45,1 | 5,9 | |

Tabulka 2

8.4. Měření rychlosti chladicího vzduchu obr.14



Obr.14

1-ventilátor $n = 2910 \text{ min}^{-1}$

2-vstupní hrdlo

3-chladič RC - 11

(dle 1-VKR-195 chlazení vzduchu a oleje)

w_1 rychlosť chlad. vzduchu pred chladičom

S_1 čelní plocha chladiče (průřez vst. hrdla pos.2)

w_2 rychlosť chlad.vzduchu na výstupu z chladiče

S_2 průtočná plocha chladicího vzduchu

(rozměry chladiče specifikovány v kap.4.2.a příloze)

$$S_1 = 0,37 \cdot 0,38 = 0,1406 \text{ m}^2$$

$$S_2 = (7+23) \cdot 0,36 \cdot 0,008 = 0,0864 \text{ m}^2$$

$$w_1 = ?$$

$$w_2 = 6,3 \text{ m} \cdot \text{s}^{-1} \text{ měřeno měřicím přístrojem THERM}$$

$$\text{SYSTEM - 2253-2 rozsah } 0,4-40 \text{ m.s}^{-1}$$

Rychlosť vzduchu na vstupu do chladiče pri zanedbáni
stlačitenosti a rozdielu teplot dátaná vzťahom :

$$w_1 \cdot S_1 = w_2 \cdot S_2$$

$$w_1 = \frac{S_2}{S_1} \cdot w_2 = \frac{0,0864 \cdot 6,3}{0,1406}$$

$$w_2 = 3,87 \text{ m} \cdot \text{s}^{-1}$$

Rychlosť chladicího vzduchu je o $1,17 \text{ m} \cdot \text{s}^{-1}$ menší než
predpokládaná rychlosť chladicího vzduchu v kap.4.2.
($5 \text{ m} \cdot \text{s}^{-1}$)

8.5. Vyhodnocení měření

-množství nasávaného vzduchu $\dot{V}_N = 42 \text{ m}^3 \cdot \text{h}^{-1}$

-výtlacný tlak $p = 0,8 \text{ MPa}$ absol.

-rychlosť chladicího vzduchu $w_2 = 3,87 \text{ m} \cdot \text{s}^{-1}$

-teploty vzduchu a oleje:

Měření bylo provedeno bez zapojení termostatického ventilu, tj. pro situaci, kdy termostatický ventil uzavře přímý okruh návratu oleje nad rotory kompresoru. Proto nebylo dosaženo maximálních predpokládaných teplot oleje.

Závěr :

Teploty vzduchu a oleje pro výše ustanovený výkon kompresoru zůstaly hluboko pod predpokládanými maximálními teplotami. Pro daný výkon kompresorové jednotky chladič RC-11 plně vyhovuje. Chladič je možno použít i pro větší výkony kompresoru NK-40.

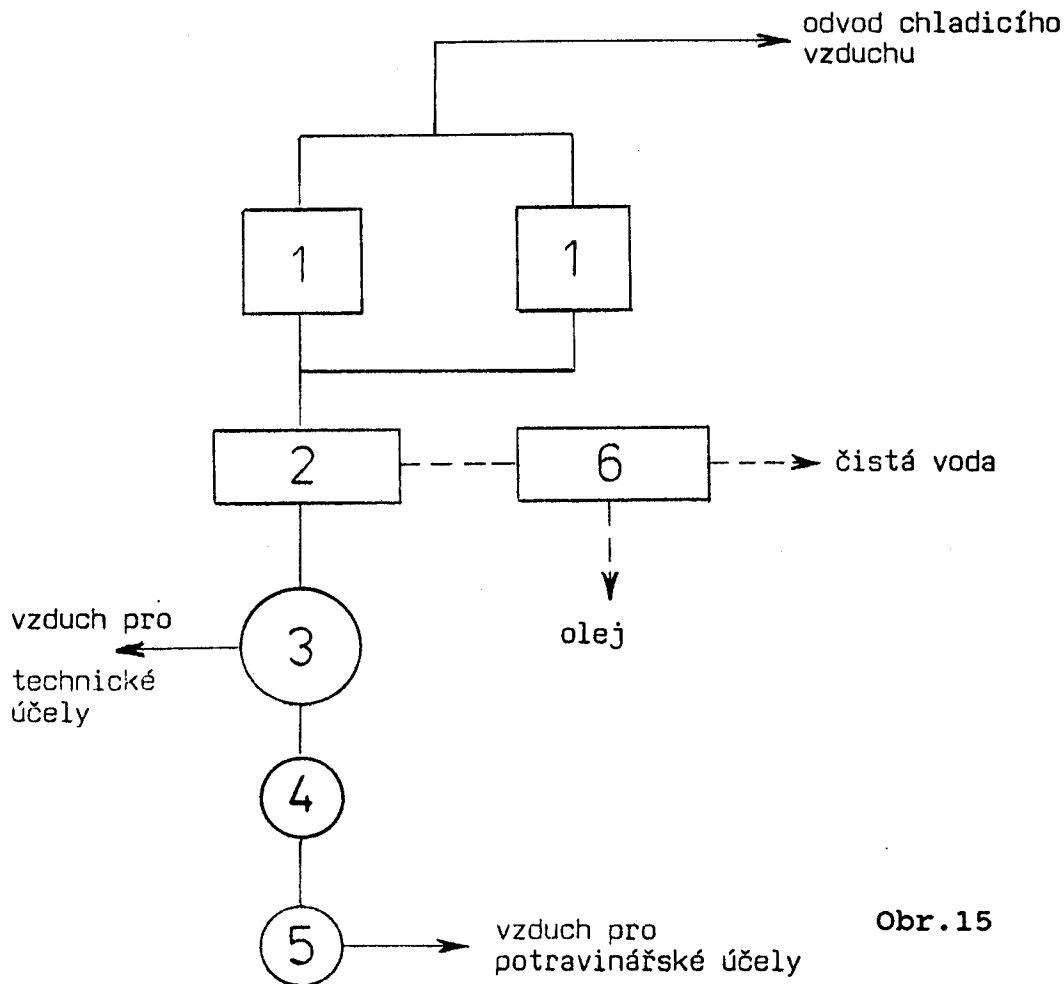
Další měření budou provedena na kompresorové jednotce, která se v současné době vyrábí ve VÚPCHT,

pro výrobu tlakového vzduchu takéž ve VÚPCHT Hradec Králové. V chladicím okruhu oleje bude zapojen termostatický směšovací ventil a dva průtokoměry oleje, které pro toto měření nebyly k dispozici.

9. ZAŘAŽENÍ KOMPR. JEDNOTKY V TECHNOLOGICKÉ LINCE ÚPRAVY TLAKOVÉHO VZDUCHU.

9.1. Popis technologické linky

Zařízení dle schématu na obr.15 se skládá ze dvou kompr. jednotek 1 (jedna je záložní), čistící jednotky vzduchu s vodním dochlazovačem 2, vzdušníku 3, bakteriálního filtru 5 s předřazeným adsosorbérem 4 a separační mikrofiltrační jednotky 6 k čištění odpadního kondenzátu.



Obr.15

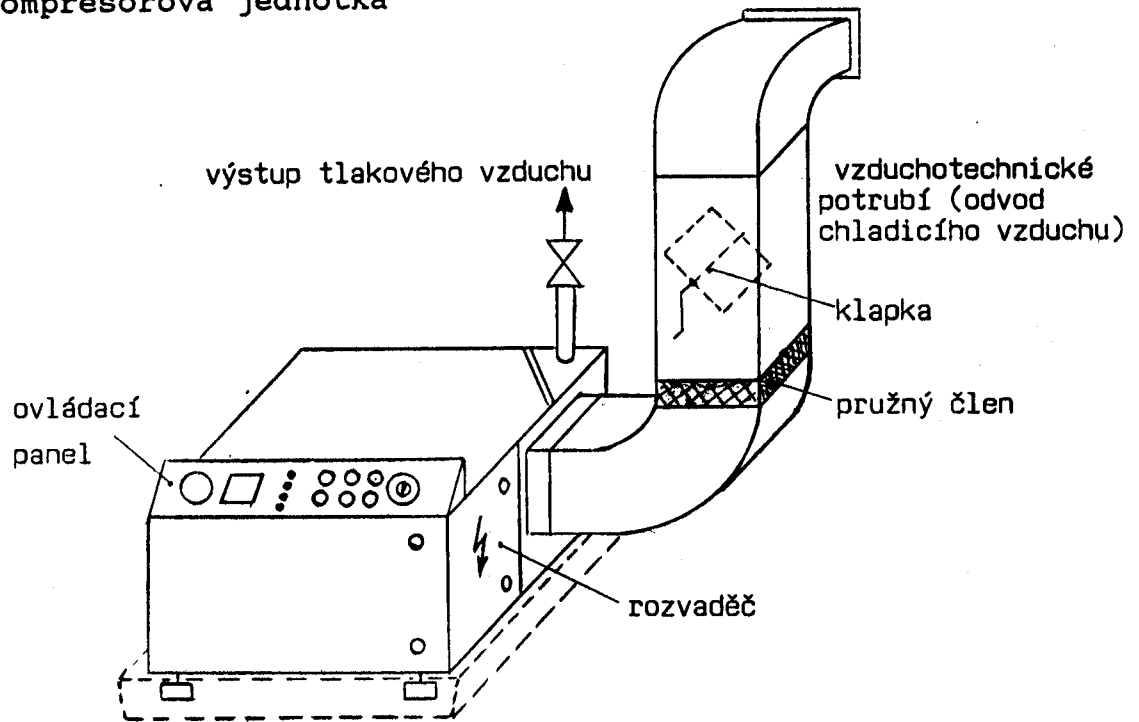
Vzduch si kompresorová jednotka nasává přímo z místnosti a pomocí ventilátoru ho dále profukuje chladičem RC-11 (t.j.odvod tepla ze skříně kompr.jednotky) do výstupního vzduchotechnického potrubí.Odpadní teplo obsažené v tomto vzduchu je možné využít v rekuperačním výměníku např. k ohřevu užitkové vody nebo vzduchu v místnostech. Část tohoto vzduchu je nasávaná kompresorem přímo ze skříně, ještě před chladičem,přes vstupní filtr kompresoru.Po jeho komprese a ochlazení ve vzduchovém chladiči vstupuje stlačený plyn do čistící jednotky na úpravu vzduchu,kde se odloží vodní kondenzát společně s nezachyceným olejem ve filtru kompresoru NK-40.Takto upravený vzduch je jímán ve vzdušníku,odkud je větší část tlakového vzduchu přiváděna přímo ke spotřebičům tlakového vzduchu.Menší část,cca $5 \text{ m}^3 \cdot \text{h}^{-1}$,je s ohledem na potravinářské využití stlačeného vzduchu dočištěvána adsorbérem,na němž se zachytí další nečistoty.Jde zejména o olejové páry a pachy.Co nejbliže místa spotřeby je umístěn bakteriální filtr. Kondenzát odváděný z filtrační jednotky je čištěn od příměsi oleje separační mikrofiltrační jednotkou.

9.2.Kompresorová jednotka (obr.16)

Technické údaje :

- výkon $40 \text{ m}^3 \cdot \text{h}^{-1}$
- výtlačný tlak..... 0.8 MPa absol.
- elektropřívod..... $380 \text{ V} - 32 \text{ A}$
- rozměry..... $820 \times 940 \times 635 \text{ mm}$
- hmotnost..... 216 kg
- příkon kompresoru..... $5,5 \text{ kW}$
- max.ot.kompresoru..... 6150 min.^{-1}
- výkon el.motoru..... $7,5 \text{ kW}$
- výrobce..... VÚPCHT Hradec Králové

Kompresorová jednotka



Obr. 16

9.3. Jednotka na úpravu (čištění) vzduchu

Technické údaje :

- množství uprav.vzduchu..... $70 \text{ m}^3 \cdot \text{h}^{-1}$ max.
- provozní tlak..... $0,8 \text{ MPa}$ absolut.
- maximální koncentrace oleje ve výstupním vzduchu..... $0,1 \text{ mg.m}^{-3}$
- množství odp.kondenzátu..... $1,5 \text{ kg.h}^{-1}$ max.
- spotřeba chlad.vody..... 1 l.min^{-1}
- elekropřívod..... $220 \text{ V} - 200 \text{ W}$
- rozměry..... $1200 \times 250 \times 600 \text{ mm}$
- hmotnost..... 60 kg
- výrobce.....VÚPCHT Hradec Králové

9.4. Separační mikrofiltráční jednotka

Technické údaje :

- množství zaolej.vody.....30 kg za 8,5 hod.max.
- kvalita vyčištěné vody.....do 10 mg na 1 l vody
(extrahovatelné látky) dle zák.č.171/92 Sb.
- elektropřívod.....380 V - 16 A
- rozměry.....800x800x1200 mm
- hmotnost.....40 kg
- el.motor.....1,1 kW
- výrobce.....VÚPCHT Hradec Králové

9.5. Vzdušník

Pro kompenzaci nerovnoměrnosti v odběru vzduchu ze soustavy je zařazen vzdušník, typ - VSV - 11.

Technické údaje :

- objem.....1,6 m³
- provozní tlak.....1,0 MPa abs., do 100°C
- rozměry.....Ø1000x2500 mm
- hmotnost.....629 kg
- výrobce.....Tlakové nádoby
Žilina - Bytčica

9.6. Adsorbér

Technické údaje :

- max.průtok vzduchu.....10 m³. h⁻¹
- max.tlak.....0,8 MPa absolut.
- koncentrace nečistot.....0,05 mg.m⁻³
- rozměry.....Ø100x300 mm
- hmotnost.....6 kg
- výrobce.....VÚPCHT Hradec Králové

9.7.Bakteriální filtr

Technické údaje :

- max.průtok..... $40 \text{ m}^3 \cdot \text{h}^{-1}$
- max.tlak.....0,8 MPa absolut.
- použitá vložka VXA 100 TPL
- třída filtru dle ON 125005
- výrobce LVT Liberec
- hmotnost.....6 kg
- rozměry..... $\phi 100 \times 300$ mm
- výrobce.....VÚPCHT Hradec Králové

P O U Ž I T Á L I T E R A T U R A

- [1]Černoch Sv.....Strojné technická příručka 1,2,
SNTL Praha, 1977
- [2]Vrzal V.a kol.....Strojnické tabulky pro
SPŠstroj., SNTL Praha, 1984
- [3]Pustka Zd.....Základy strojního
inženýrství II, VŠST Liberec, 1988
- [4]Prášil L.a kol.....Části a mechanizmy strojů,
VŠST Liberec, 1990
- [5]Prášil L.....Části strojů a mechanizmů
(cvičení), VŠST Liberec, 1984
- [6]Chlumský V.,Liška A...Kompresory, SNTL Praha, 1982
- [7]Gutkowski K.....Chladicí technika-vybr.řešené
problémy, SNTL Praha, 1982
- [8]Sazima M.,Kmoníček V.
Schneller J.....Teplo, SNTL Praha, 1989
- [9]Urbášek J.....Termomechanika a mechanika
tekutin, VŠST Liberec, 1990
- [10]Dvořák Zd.....Základy chladicí techniky ČVUT Praha,
1984
- [11]Dvořák Zd.,Chyský J..Vybrané statě ze sdílení tepla,
ČVUT Praha, 1979
- [12]Ražnjevič K.....Termodynamické tabulky, ALFA
Bratislava, 1984
- [13]Přehled výrobků dodávaných s.p.Benzina, vyd.Benzina
s.p.Praha, 1991.
- [14]Katalog - klinové řemeny,vyd.Barum Otrokovice
- [15]Katalogové listy pryžokovových výrobků,vyd.Gumokov HK

P r i l o h a

| Obsah | str. |
|---|-------------|
| - Technické podmínky chladiče vzduchu a oleje RC-11 | 1 |
| - Výkres chladiče vzduchu a oleje RC-11 | 4 |
| - Izolace IZOMAT | 5 |



TECHNICKÉ PODMÍNKY

Chladič vzduchu a oleje RC 11
(9677.14)TPP. 124. 20
63. 22/92443 512 309
109

Tyto technické podmínky platí pro chladič vzduchu a oleje, vyroběný v s.p. AUTOPAL Nový Jičín.

I. NÁZVOSLOVÍ

1. Chladič je zařízení sloužící k odvodu přebytečného tepla. Pomocí vytvořené ochlazovací plochy (chladičí vložky) je teplo odváděno proudícím vzduchem.

II. Všeobecné**2. Popis**

Chladič je přibližně čtvercového tvaru, složený ze dvou sekcí, vzduchové a olejové. Chladící vložka deskožebrové konstrukce je uzavřena ze dvou stran komorami, které usměrňují průtok chlazených médií.

3. Použití

Chladič se používá u kompresoru RC11 pro chlazení mazacího oleje kompresoru a chlazení vzduchu, stlačovaného kompresorem.

4. Údaje pro objednávku

- V objednávce je nutno uvést:
- počet kusů
 - název výrobku
 - číslo výrobku (JK POV)

III. TECHNICKÉ POŽADAVKY**5. Provedení a vzhled**

Spoje elementů chladiče musí být pevné. Připouští se ojedinělá nepřipájená místa, pokud je zaručen stanovený chladící výkon a pevnost chladiče. Tvar vlnovce musí být pravidelný, nedeformovaný a jeho uspořádání v chladiči stejnomořně a vzhledně.

6. Rozměry

Rozměry chladiče musí odpovídat přiloženému rozměrovému náčrtku.

7. Chladící výkon a tlakové ztráty

Zkouška prováděna vodou na zkušebně s.p. AUTOPAL. Provedení chladiče musí zaručovat následující chladící výkony:

- | | |
|----------------------|----------|
| a) u vzduchové sekce | 6 500 W |
| b) u olejové sekce | 17 000 W |

Listopad
1992Autopal
NJ

Schváleno:

Platí od:

Poč. 1.3
List 1

za těchto podmínek:

- rychlosť vzduchu před chladičem 5 m/s
- teplota vzduchu na vstupu 30°C
- průtok vody sekci 1 800 l/h
- teplota vody na vstupu 90°C
- přípustná tlaková ztráta na str. vzduchu 230 Pa
- přípustná tlak. ztráta na straně vody:
 - a) u sekce vzduchové 11 kPa
 - b) u sekce olejové 11 kPa

8. Pevnost a těsnost

Chladiče a spoje všech součástí musí být dostatečně pevné, tuhé a těsné, aby při namáhání vnitřním přetlakem nebo chvěním, kterým jsou vystaveny při obvyklém provozu, se nedeformovaly nebo neporušily a aby nedocházelo k úbytku náplně chladiče jejich netěsností.

9. Klimatická a korozní odolnost klimatická odolnost chladiče je N24 podle ONA 301002.

10. Pokyny pro použití

Chladiče jsou určeny pro maximální provozní přetlak 1.5 MPa a trvalou teplotu max. 110°C.

Chladiče vyhovují podmínkám provozu při teplotě okolního prostředí od -40°C do +40°C.

11. Údaje na výrobku

Na každém chladiči musí být čitelně a trvalým způsobem vyznačeny tyto údaje:

- označení výrobce
- číslo JK POV
- měsíc a rok výroby (kódováním)
- značka OTK výrobce

IV. ZKOUŠENÍ

12. Všeobecně

Chladiče se zkouší při teplotě okolí +20°C +-5°C a relativní vlhkosti vzduchu 40 až 80%, pokud není u některých druhu zkoušek uvedeno jinak.

13. Kontrola vzhledu

Vzhled se kontroluje prohlídkou. Chladiče musí vyhovět požadavkům čl. 5 a 11 těchto technických podmínek.

14. Kontrola rozměrů

Rozměry se kontrolují běžnými měřidly.

15. Zkouška chladicího výkonu a tlakové ztráty

Tato zkouška se provádí podle čl. 23 až 27 ČSN 30 26 01.

16. Zkouška pevnosti a těsnosti

Zkouška statickým přetlakem

Těsnost chladiče se zkouší tak, že se prázdný chladič ponoří do vody teplé 60°C a zkouší se po dobu 1 minuty přetlakem vzduchu 1.95 MPa. Při zkoušce nesmí nastat porušení těsnosti chladiče, projevující se unikáním bublinek vzduchu.

17. Zkouška vibracemi

- frekvence 10 Hz - 150 Hz
- max. amplituda 0.75 mm
- zrychlení max. 10 g
- rychlosť rozmitánia 1 oktava/min.
- počet cyklů 20

18. Zkouška cyklickým přetlakem

Provádí se při typových zkouškách.

Chladič se zkouší přetlakem za těchto podmínek:

- 30 000 cyklů od 0.05 do 1.2 MPa a zpět do 0.05 MPa
- doba trvání 1 cyklu je max. 8 sec. a setrvání 2 sec. na max. tlaku

- teplota oleje při zkoušení je 100°C

Chladiče vyhovují, nenastane-li unikání oleje.

Tento zkoušce se podrobují 3 ks chladičů.

V. PŘEJÍMÁNÍ A DODÁVÁNÍ

19. Přejímka se provádí u odběratele, není-li sjednáno jinak. Dodavatel má právo se jí zúčastnit. Přejímka se provádí podle ČSN 01 02 54 TAB. IV/35, příkemž se chladiče podrobují kontrole vzhledu podle čl. 13 a kontrole rozměrů podle čl. 14 těchto technických podmínek.
- Nevyhoví-li chladiče přijímacím zkouškám, považuje se dodávka za nevhovující, musí být výrobcem stoprocentně překontrolována a vadné kusy na jeho náklady opraveny.

VI. BALENÍ, DOPRAVA, SKLADOVÁNÍ

20. Chladiče připravené pro dodání musí být chráněny proti poškození při dopravě.

21. Doprava se uskutečňuje v přepravních obalech v krytých dopravních prostředcích.

22. Chladiče musí být skladovány v suchých místnostech (skladech) bez výparu kyselin, alkalií nebo jiných agresivních chemikalií. Chladiče musí být uloženy nejméně 1.5 m od topných těles a nejméně 20 cm nad podlahou skladu.

Související normy

- ONA 30 10 02 Druhy provedení, označování, výběr zkoušek
(klimatická odolnost silničních motorových vozidel)

- ČSN 30 26 01 Chladiče pro motorová vozidla

- ČSN 01 02 54 Statistická přejímka

* 427-3

43C

* 411-1

386

270

116

12
cm

370

6 SECHS-ZEICH

4 1/2 V

22 SECHS-ZEICH

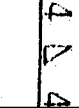
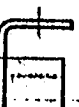
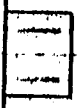
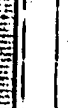
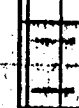
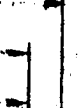
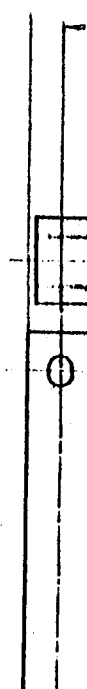
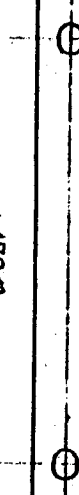
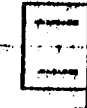
21

16

3

15

19



VYROBN
STITEK

J
3

4
V
2

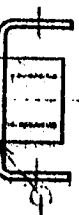
4
V
2

4
V
2

J
3

4

4



3

65

G1/2" (x)

$m_p = 249 \text{ kg/m}^2$



IZOMAT

odhlučňovací, zvukopohltivý,
tlmiaci a tepelnoizolačný materiál

Charakteristika

Základom materiálu IZOMAT sú dve vrstvy skleného prepletu Arasklo alebo Araver, plošnej hmotnosti 800 g/m^2 . Medzi tieto dve vrstvy je vložená polyuretanová pena „Molitan“ s otvorenými pórami. Obojstranné spojenie vrstiev sklovláknitého prepletu je vyhotovené rúnom z termoplastických polyetylénových vlákien Petex, ktoré pri natavení vytvoria vláknitú mriežku, nezabráňajúcu vstup akustickej energie do štruktúry materiálu.

Líčna strana IZOMAT-u je chránená perforovanou hliníkovou fóliou. Na rubovej strane je nanesená samolepliacia vrstva s ochranným separačným papierom.

Sortiment

Vysekáne diely podľa vopred dohodnutej výkresovej dokumentácie. Platne v rozmeri $1200 \times 980 \text{ mm}$ a $1350 \times 980 \text{ mm}$ o hrúbke 25 mm z ktorých je možné vyrázať žiadane tvary pre rôzne účely.

Vlastnosti

Horfavosť podľa ČSN 73 0853 a ČSN 73 0802 je v skupine B, ako materiál nefahko horfavý.

Jednotlivé vrstvy IZOMAT-u majú dokonalú súdržnosť i pri teplotách od -40°C do 100°C .

Zvuková pohltivosť, ktorá sa vyhodnocuje v závislosti na frekvencii zvukových vln je v priloženom grafe. Súčiniteľ tepelnej vodivosti podľa ČSN 72 7015 je $0.041 \text{ W.m}^{-1}\text{K}^1$.

Použitie

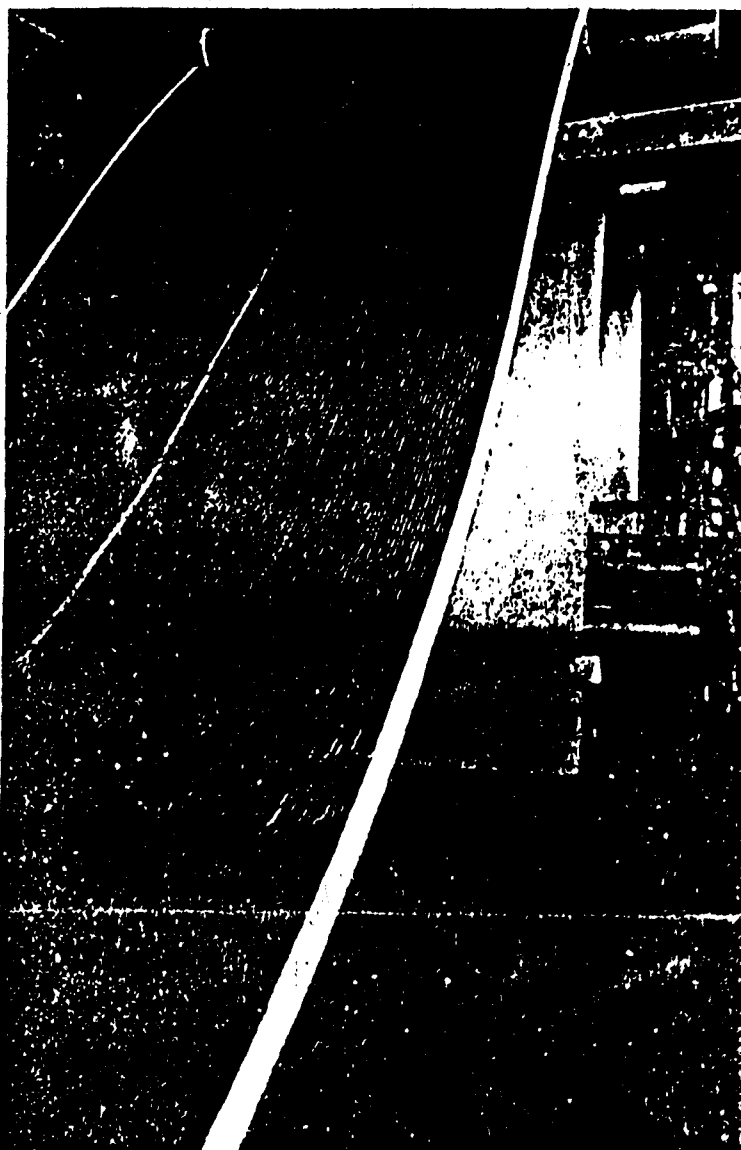
IZOMAT sa používa vo forme dielcov, ako odhlučňovači, zvukopohltivý a tlmiaci materiál pre motorové vozidlá, alebo v ďalšom uplatnení vo forme dosiek i pre odhlučňovanie iných priestorov, statické stroje, pletiace stroje a pod.

Dosky IZOMAT sú vhodným materiálom pri použití vo zvukovoizolačných krytoch, ich prednosťou okrem akustických vlastností je i jednoduchá montáž naprímenim. Pre tieto vlastnosti môžu byť použité i pre absorpcné tlmiče do vzduchotechnických kanálov.

Doprava a skladovanie

Doprava sa uskutočňuje na paletách v suchých, čistých a uzavretých dopravných prostriedkoch.

IZOMAT sa musí skladovať v suchých, čistých a uzavretých priestoroch na rovnom podklade pri teplote max. do -10°C .



| $H, \text{ mm}$ | 125 | 160 | 200 | 250 | 315 | 400 | 500 | 630 | 800 | 1000 |
|-----------------|------|------|------|------|------|------|------|------|------|------|
| z_s | 0.10 | 0.18 | 0.20 | 0.31 | 0.42 | 0.51 | 0.66 | 0.87 | 1.06 | 1.04 |

| $H, \text{ mm}$ | 1250 | 1600 | 2000 | 2500 | 3150 | 4000 | 5000 | 6300 | 8000 |
|-----------------|------|------|------|------|------|------|------|------|------|
| z_s | 1.00 | 0.90 | 0.82 | 0.79 | 0.76 | 0.75 | 0.80 | 0.67 | 0.59 |

Výrobca

Slovenské závody technického skla, národný podnik,
Agálová 22

844 03 Bratislava-Dúbravka

telefón: 369 001-2

telex: 093336

Dodávateľ

Staviva, národný podnik a výrobca SZTS, národný podnik, 844 03 Bratislava-Dúbravka

telefón: 3690 01-2

telex: 093337

Jednotka komprese vzduchu (NK-40)

1-VKR-196

| | | | | |
|--|--------------------------------|---------|------------|----|
| 1 ŠROUBOVÝ KOMPRESOR TYP NK-40 | ROTORCOMP MNICHOV | 33,2 | | 1 |
| 1 POHON NK-40 | | 77,37 | 2-VKR-354 | 2 |
| 1 CHLAZENÍ VZDUCHU A OLEJE | | 14,9 | 1-VKR-195 | 3 |
| 1 RÁM KOMPR. JEDNOTKY | | 35,0 | 0-VKR-050 | 4 |
| 4 PRUŽINA VÁLCOVÁ v. 8.72.12 (ø65) | ČSN 62 2245.10 GUMOKOV PRYŽ | 0,17 | | 5 |
| 1 MANOMETR TYP 358/2 ROZSAH 0+1,6 MPa | | 0,15 | | 6 |
| 1 KRYCÍ PLECH | | 1,0 | 4-VKR-2322 | 7 |
| 1 PANEL I | | 8,47 | 3-VKR-2036 | 8 |
| 1 PANEL II | | 0,42 | 3-VKR-2037 | 9 |
| 1 PANEL III | | 7,64 | 3-VKR-2038 | 10 |
| 1 PANEL IV | | 6,4 | 3-VKR-2039 | 11 |
| 1 PANEL V | | 6,45 | 3-VKR-2040 | 12 |
| 1 PANEL VI | | 3,06 | 3-VKR-2041 | 13 |
| 1 PANEL VII | | 3,00 | 3-VKR-2042 | 14 |
| 1 OVLÁDACI PANEL | | 3,4 | 2-VKR-355 | 15 |
| 32ŠROUB M4x35 | ČSN 02 1151.10 | 0,0038 | | 16 |
| 42ČALOUNICKÁ PODLOŽKA TYP 3602, d=5 | PN 02 1001 | 0,001 | | 17 |
| 10ŠROUB M4x55 | ČSN 02 1151.10 | 0,0057 | | 18 |
| 18ŠROUB M4x14 | ČSN 02 1103.10 | 0,002 | | 19 |
| 14PODLOŽKA 4,3 | ČSN 02 1702.10 | 0,0003 | | 20 |
| 14PODLOŽKA 4 | ČSN 02 1740.00 | 0,0002 | | 21 |
| 4 MATICE M4 | ČSN 02 1401.20 | 0,00074 | | 22 |
| 7 ŠROUB M10x40 | ČSN 02 1103 | 0,034 | | 23 |
| 7 PODLOŽKA 10,5 | ČSN 02 1702.10 | 0,004 | | 24 |
| 7 PODLOŽKA 10 | ČSN 02 1740.00 | 0,002 | | 25 |
| 7 MATICE M10 | ČSN 02 1401.20 | 0,0091 | | 26 |
| 4 ŠROUB M5x50 | ČSN 02 1131.10 | 0,0085 | | 27 |

MICHL

3/1993

| | | | | |
|----|--|----------------------------|---------|---------------|
| 4 | PODLOŽKA 5,3 | ČSN 02 1702.10 | 0,00044 | 28 |
| 4 | PODLOŽKA 5 | ČSN 02 1740.00 | 0,00037 | 29 |
| 4 | MATICE M5 | ČSN 02 1401.20 | 0,0011 | 30 |
| 1 | SKŘÍŇ ROZVADĚČE 340x270x120 TYP IM-008-128 | VÝROBCE SRN | 1,0 | 31 |
| 1 | ŠROUB M8x70 | ČSN 02 1143.50 | 0,032 | 32 |
| 1 | NAPÍNÁK | | 0,119 | 4-VKR-2326 33 |
| 2 | ŘEMEN SPZ-La 1225 | ČSN 02 3112 | 0,0835 | 34 |
| 22 | ŠROUB M8x25 | ČSN 02 1103.10 | 0,015 | 35 |
| 22 | PODLOŽKA 8,4 | ČSN 02 1702.10 | 0,0022 | 36 |
| 22 | PODLOŽKA 8 | ČSN 02 1740.00 | 0,001 | 37 |
| 16 | MATICE M8 | ČSN 02 1401.20 | 0,0051 | 38 |
| 1 | VSUVKA G1/2" | | 0,045 | 39 |
| 3 | HRDLO Jø13 | ČSN 13 7861 | 0,1 | 40 |
| 1 | HADICE HVTO Jø13-300 (M22x1,5) | TECHNOMETRA PRAHA | 0,5 | 41 |
| 1 | SPOJKA Jø13 | ČSN 13 7731 | 0,13 | 42 |
| 1 | PROPOJOVACÍ TRUBKA (Cu 16x1) | | 0,5 | 43 |
| 1 | TRUBKA G1/2" | | 0,183 | 4-VKR-2327 44 |
| 1 | KULOVÝ KOHOUT G1/2" | ITALEBOL | 0,21 | 45 |
| 1 | PŘÍRUBA | | 0,06 | 4-VKR-2328 46 |
| 2 | PŘÍPOJKA Jø13 | ČSN 13 7723 | 0,14 | 47 |
| 1 | SPOJKA | | 0,115 | 4-VKR-2329 48 |
| 1 | POJISTKA NEDOSTATKU VODY TYP 940.060 | ZVS MORAVIA ZÁV. DVORCE | 0,7 | 49 |
| 1 | PŘECHODKA 1"x1/2" | ČSN 13 8240 | 0,094 | 50 |
| 1 | HADICE HVTO Jø13-1000 (M22x1,5) | TECHNOMETRA PRAHA | 0,8 | 51 |
| 2 | TRUBKOVÁ SPOJKA T | ROTORCOMP | 0,2 | 52 |
| 1 | TERMOSTATICKÝ VENTIL | ROTORCOMP | 0,565 | 53 |
| 1 | HADICE HVTO Jø13-600 (M22x1,5) | TECHNOMETRA PRAHA | 0,63 | 54 |

3/1993

Fizkumy zaslaw sotsiawarskie a chladist techniky

JEDNOTKA KOMPRES VZDUCHU (NK-40)

K-VKR-196

| | | | | |
|---|---------------|-----------------------|---------------|---------------|
| 1 HRDLO | | ROTORCOMP | 0,13 | 55 |
| 1 KOLENO 1/2" | ČSN 13 8207.1 | | 0,105 | 56 |
| 1 PROPOJOVACÍ TRUBKA (Cu12x1) | | | 0,42 | 57 |
| 4 ZÁMEK 8060/B | | LIDOKOV | 0,06 | 58 |
| | | BOSKOVICE | | |
| 1 PŘETLAKOVÝ JISTIČ PJ22 (0,6-2,25 MPa) | | ZBROJOVKA | 0,41 | 59 |
| 1 PROPOJOVACÍ TRUBKA (Cu3x0,5) | | VYŠKOV | | |
| 1 TEPLITNÍ SNÍMAČ T23, TYP 61126 (70+140°C) | | ZPA ÚSTÍ NAD LABEM | 0,15 | 60 |
| 1 PROPOJOVACÍ TRUBKA (Cu3x0,5) | | | 0,62 | 61 |
| 17m TĚSNÍCÍ PÁSKA (2,5x8) | | | 0,015 | 63 |
| 1 ÚPRAVA JÍMKY (G3/4") | | | 0,17 | 4-VKR-2330 64 |
| 1 TĚSNĚNÍ ø27/ø32 | ČSN 02 9310 | | <u>0,0001</u> | 65 |
| | | | 207,8 | |
| ELEKTRO SOUČÁSTI + PROPOJENÍ | | | <u>8,2</u> | |
| | | | 216,00 kg | |

| P | M | N | Pravid | Stav | Hr. hmot | Účelo výkresu | Poz. |
|---|-------|---|--------|------|----------|---------------|------|
| | MICHL | | | | | | |

3/1993

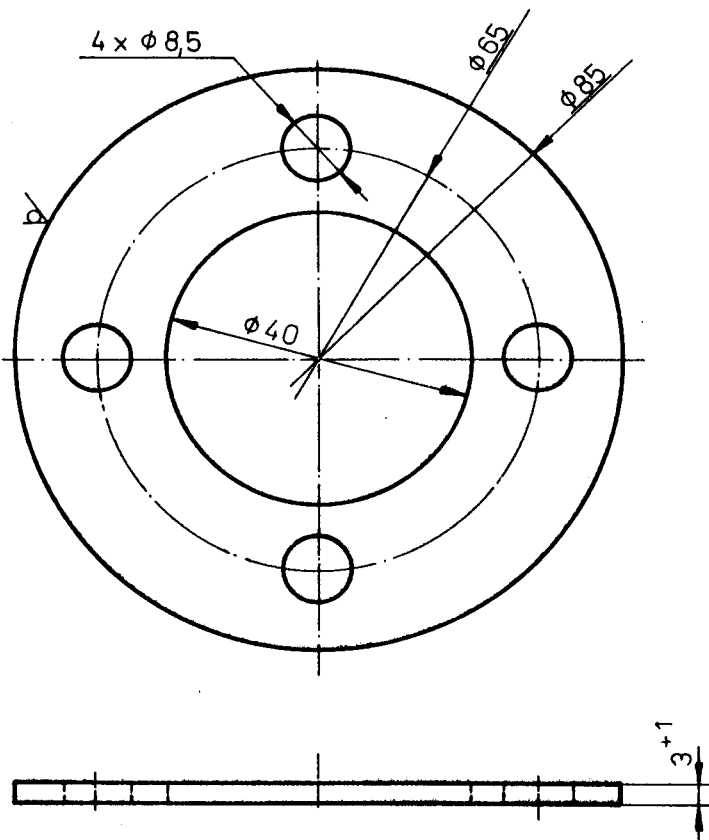
Výkresový list

a chladiči lesnatky
Brno-Královo

JEDNOTKA KOMPRES
VZDUCHU (NK-40)

K-VKR-196

6,3
△//▽//



2-VKR-354 7

1 | φ 85 -7

| | | | | | |
|------------------|------------------|-------------------|----------|------------|-------|
| ČSN 42 5510.01 | 11 373.0 | | 001 | 0,042 | 0,061 |
| Material, kovový | Materiál, kovový | Stupeň odvážnosti | Příprava | Číslo řady | Jméno |

MICHAL Milič

1:1

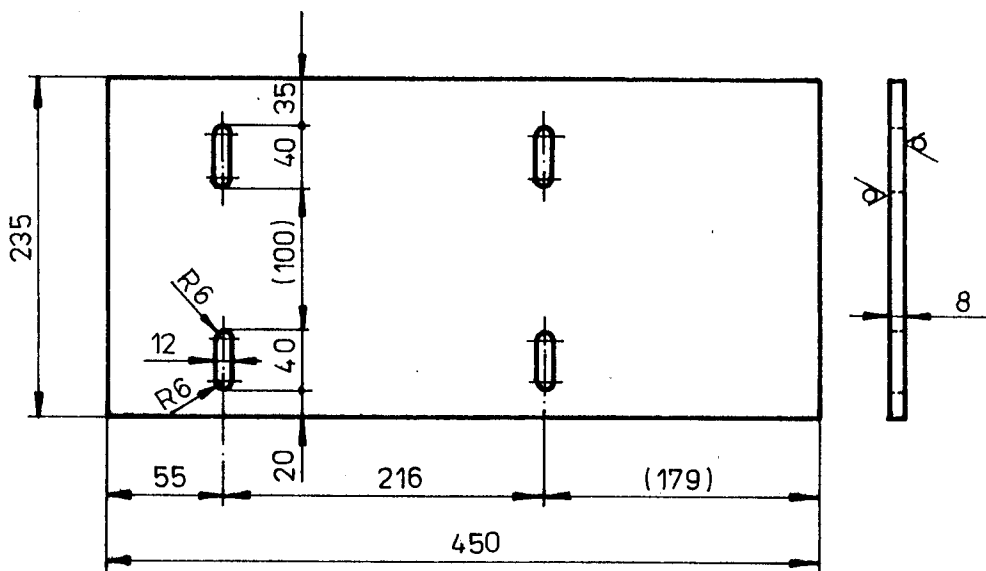
31.12.1992

Technické číslo
Dokumentace

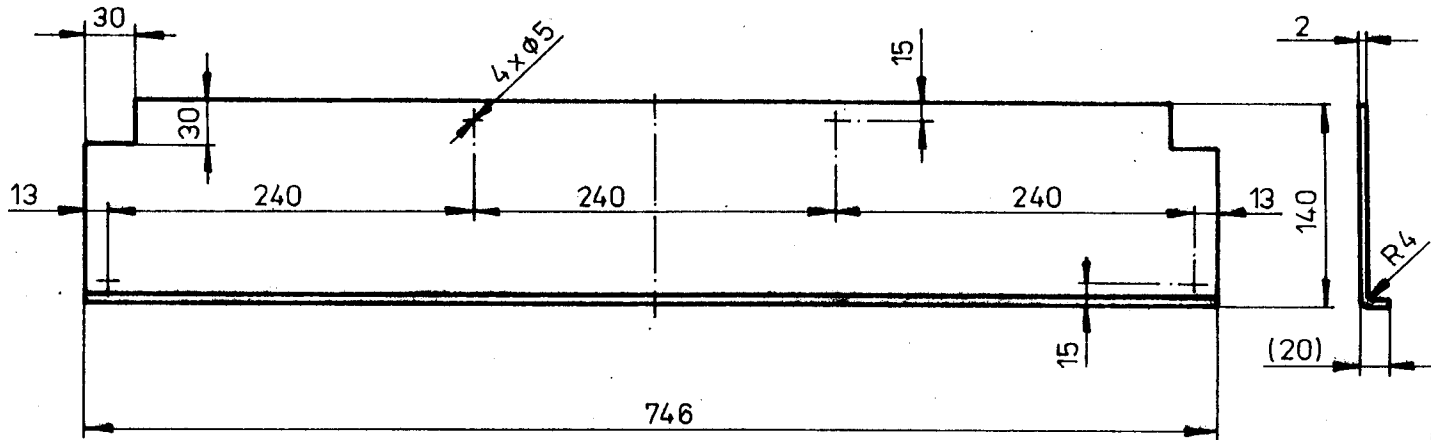
PODLOŽKA

4-VKR-2319

12,5
▽ / ◊ //



✓ / 125 /



1x 0 2002
2x 0 2117 - ODSTÍN 4400

1-VKR-196 7

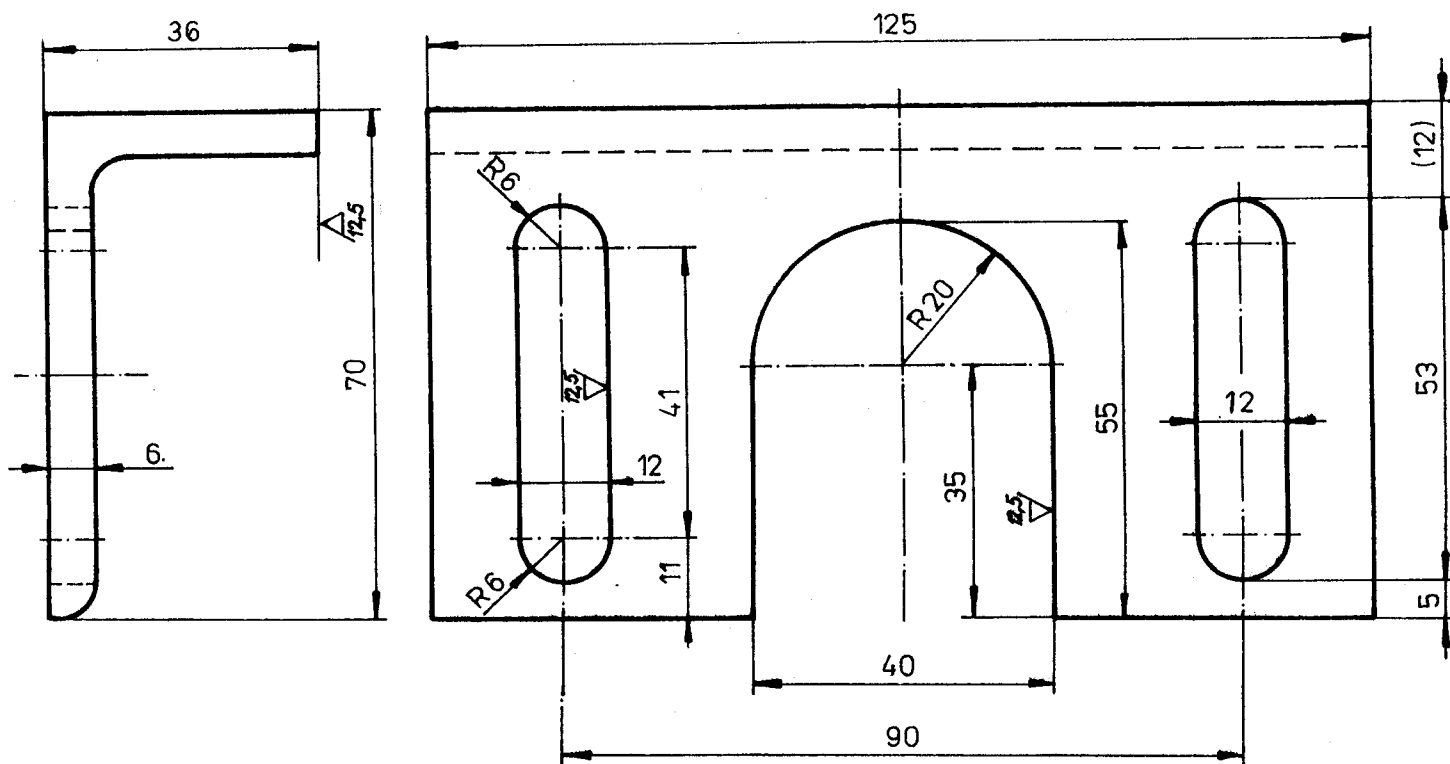
| | | | | | | |
|--------------------|-----------------|-------------|----------|-----|-----|------|
| 1 | PL. 2 x 160-746 | ČSN 42 5311 | 11 373.1 | 001 | 1,0 | 1003 |
| MICHL <i>michl</i> | | | | | | |
| 1:5 | Vst. ročník | 20.3.1993 | C. t. v. | | | |

Infrastruktur und Technik

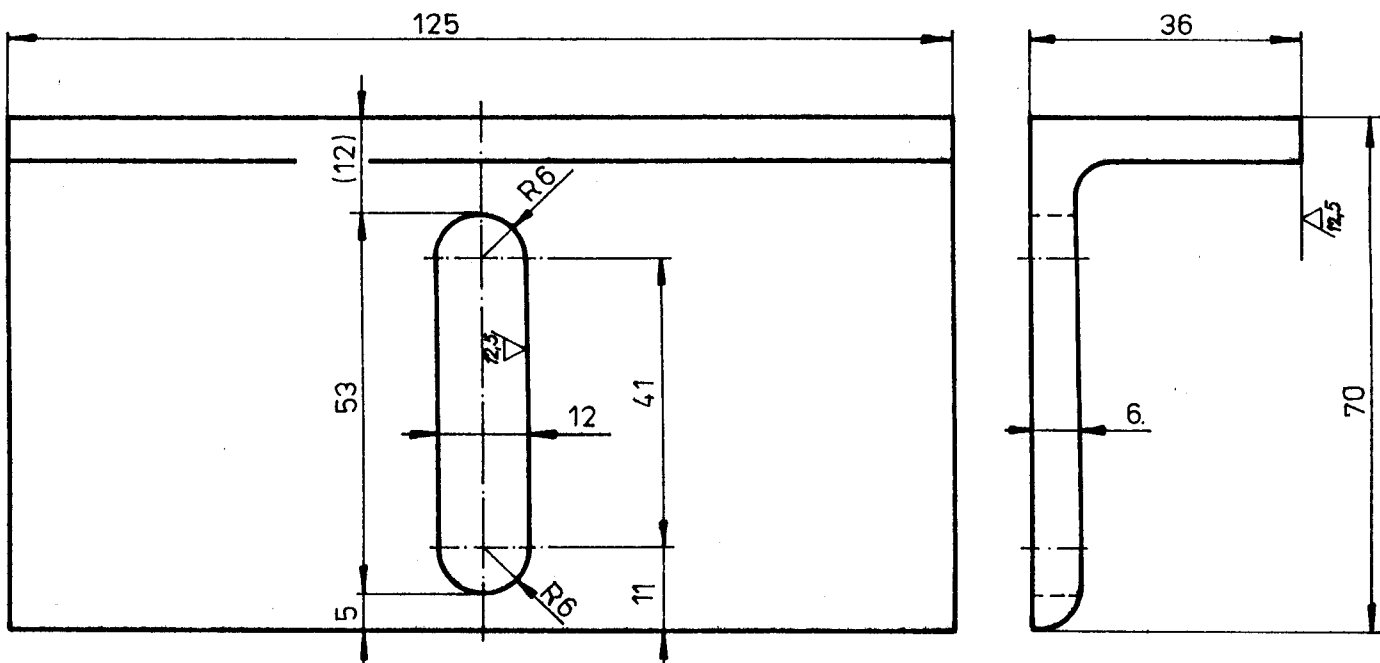
KRYCÍ PLECH

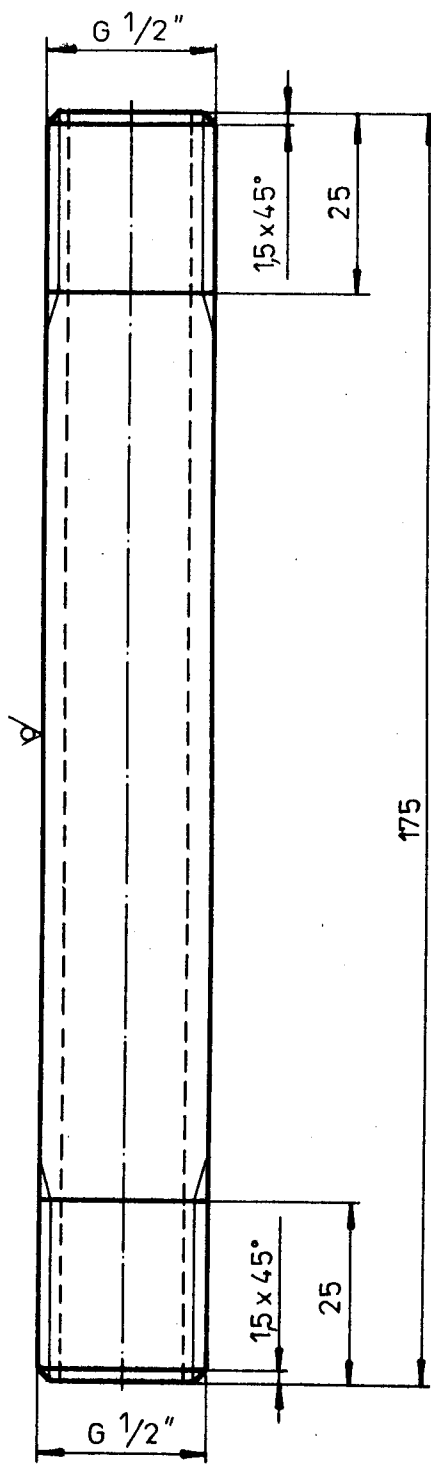
4-VKR-2322

125



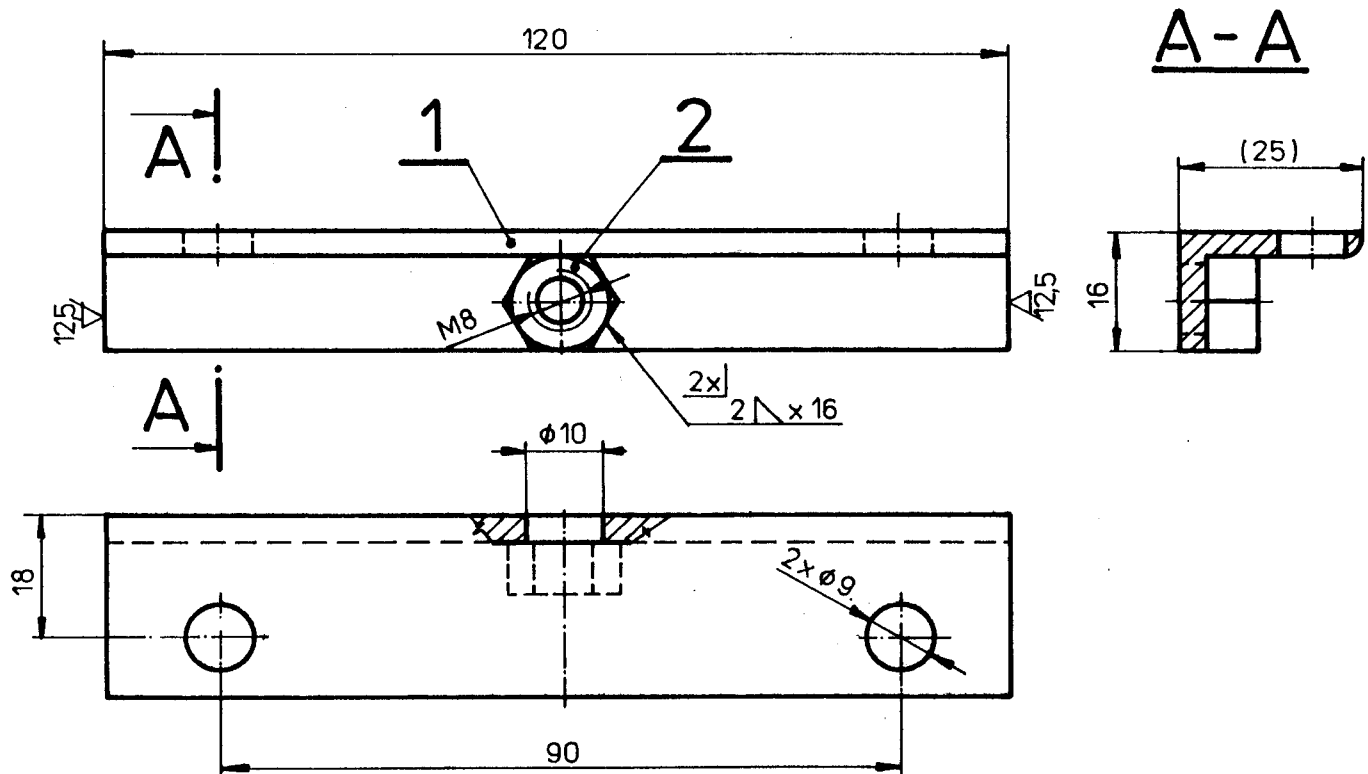
✓ / 125 ✓ /





1x 0 2002
2x 0 2117-ODSTÍN 4400

1-VKR-196 44



1x 0 2002
2x 0 2117 - ODSTÍN 4400

1-VKR-196 33

| | | | | | | | | | | |
|---|------------------|---------------|--------------------|----------------|----------------------------|----------------------------|----------------------------|----------------------------|--|---|
| 1 | MATICE M8 | ČSN 02 140120 | | | | | | | | 2 |
| 1 | L 25x25x3-122 | ČSN 42 5540 | 11 373.0 | | 001 | 0,119 | 0,135 | | | 1 |
| | Národní standard | Int. standard | Mater. konstrukčn. | Mater. výrobst | $T_{\text{výroba}}$ min | $\bar{C}_{\text{výrobst}}$ | $\bar{D}_{\text{výrobst}}$ | $\bar{E}_{\text{výrobst}}$ | | |

MICHL *[Signature]*

1:1

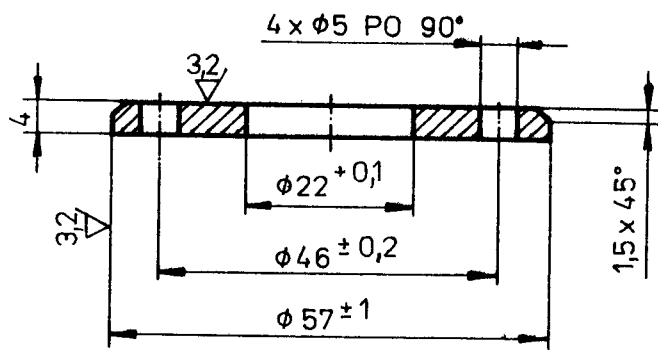
3/1993

Úřad pro jadernou
energetiku ČR

NAPÍNÁK

4-VKR-2326
Počet listů 1 List

6,3//3,2//

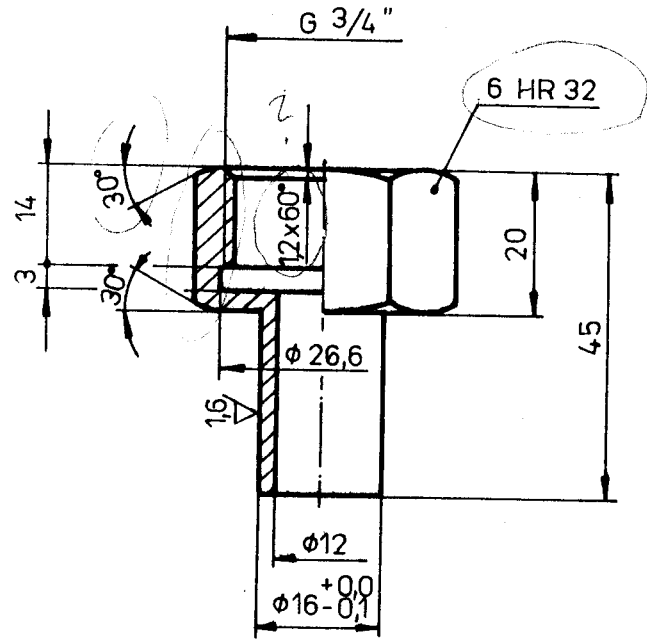


1x 0 2002
2x 0 2117 - ODSТИН 4400

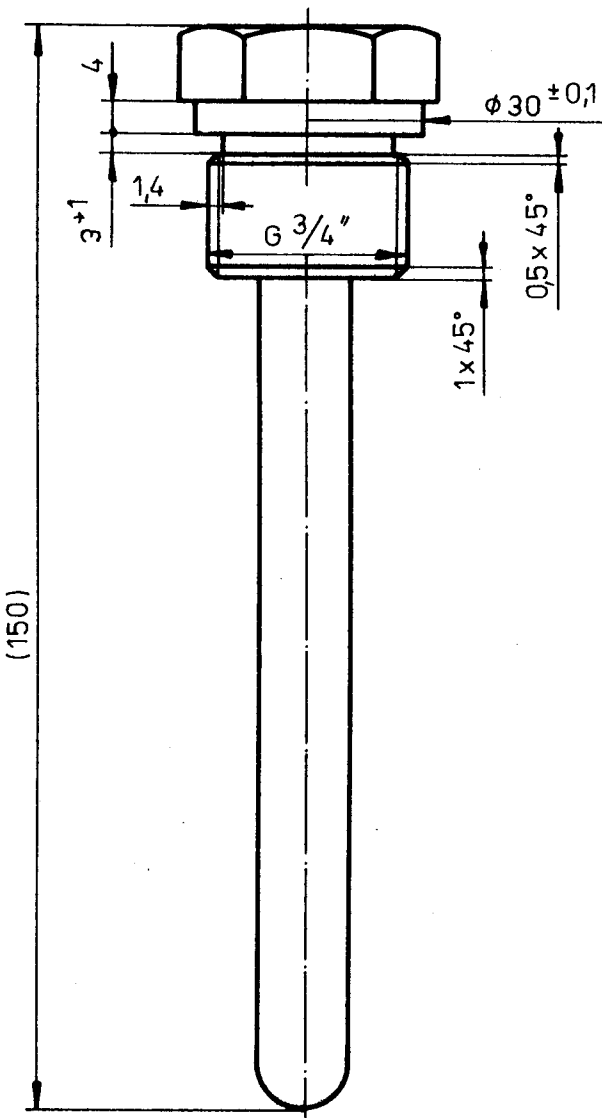
| 1-VKR-196 46 | | | | | | |
|--------------------|----------|------------------|----------------|----------|----------|----------|
| 1 | ∅ 60 - 8 | ČSN 42 5510.01 | 11 373.0 | 001 | 0,06 | 0,18 |
| Technologický list | | | | | | |
| F. řezný | | Mater. kon. řez. | Mater. výrobní | Tloušťka | Č. hmot. | U. hmot. |
| MICHL Michal | | Č. výrobku | Č. výrobku | | | |
| 1:1 | | 3/1993 | Č. kontrol. | | Datum | |
| Tloušťka výroby | | | | | | |
| Počet listů | | | | | | |
| 4-VKR-2328 | | | | | | |
| List: | | | | | | |

PŘÍRUBA

6,3 / 1,6 /



| | | | | | | | | | |
|---------------------------|--------------------------------|----------------|----------------|----------------|-------------------------|---------|-----------|------------|------|
| 1 | 6 HR 32-50 | ČSN 42 6530.12 | 11 3730 | | 001 | 0,115 | 0,26 | | |
| čet sá | Název + Rozměr | Př. letovar | Mater. konečný | Mater. vč hmot | <i>Třídu schodů</i> | Č. hmot | (k. hmot) | C. o výšce | Pos. |
| adres | Celkové výšky hmotno t kg | | | | | | | | |
| elektro: | F. n. MICHLE, Michal, příjov 1 | | C. sámkou | | | | | | |
| 1:1 | Block 1 | | | | | | | | |
| 4: | Norm. ref. | | | | | | | | |
| | Výz. projektn. | Sch. L1 | C. transp. | | | | | | |
| | | Dne 3/1993 | | | | | | | |
| | Typ | čís. na | | | | | | | |
| Jan Karel Boháček, Název: | | | | Starý výrob. | nový výrob. | | | | |
| chladicí technika | | SPOJKA | | | | | | | |
| Počet litrů | | | | | | | | | |
| 4-VKR-2329 | | | | | | | | | |



1 JÍMKÁ REGULÁTO-
RU TEPLOTY T23

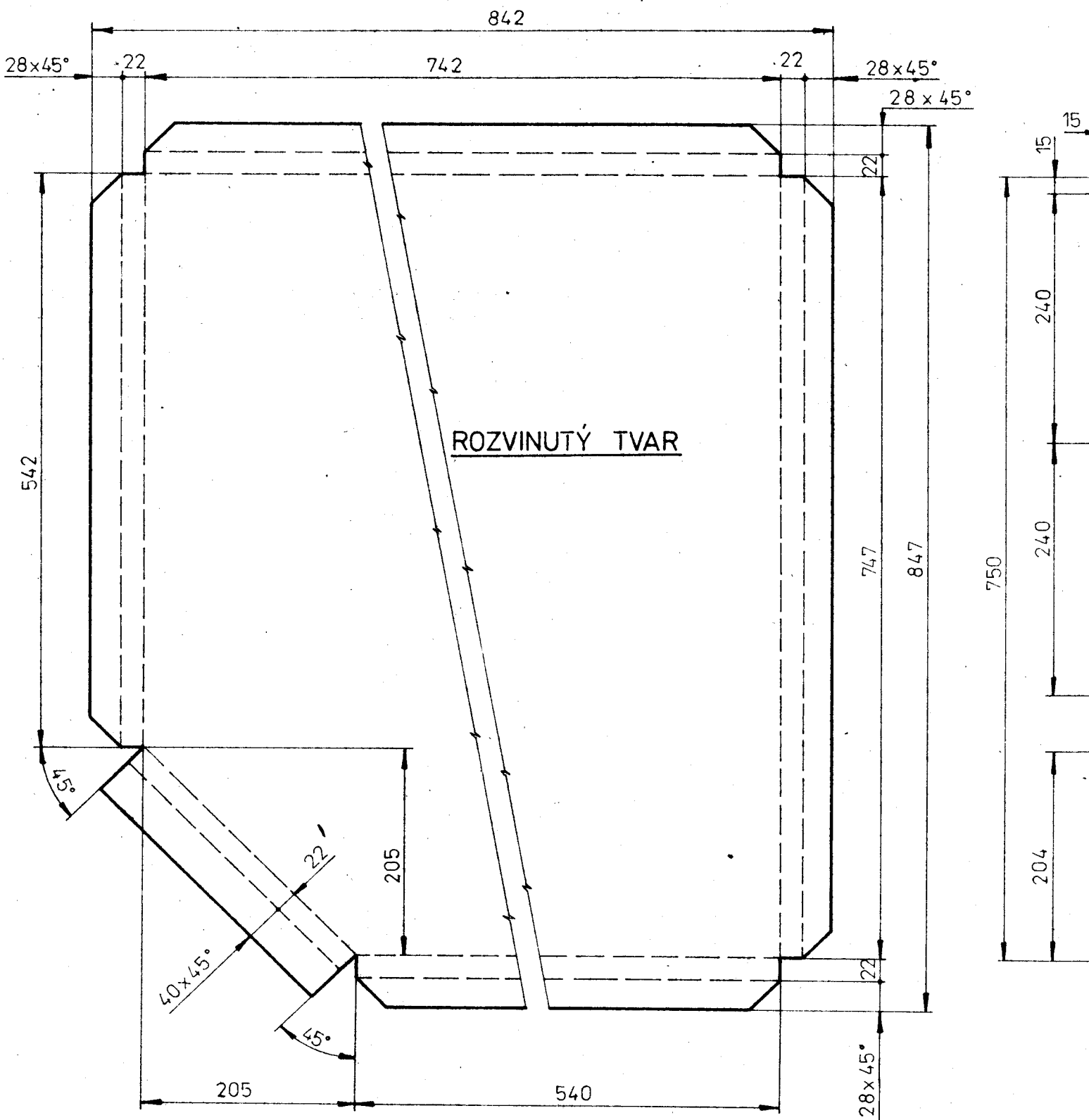
| Příslušenství | Materiál, výrobek | Mater. vč hmot. | $\frac{m^2}{kg}$ | Č. hmot. | Užit. hmot. | Číslo výkresu | Plán |
|---------------|-------------------|-----------------|------------------|----------|-------------|---------------|------|
| | | | | | | | |

MICHL *Michl*

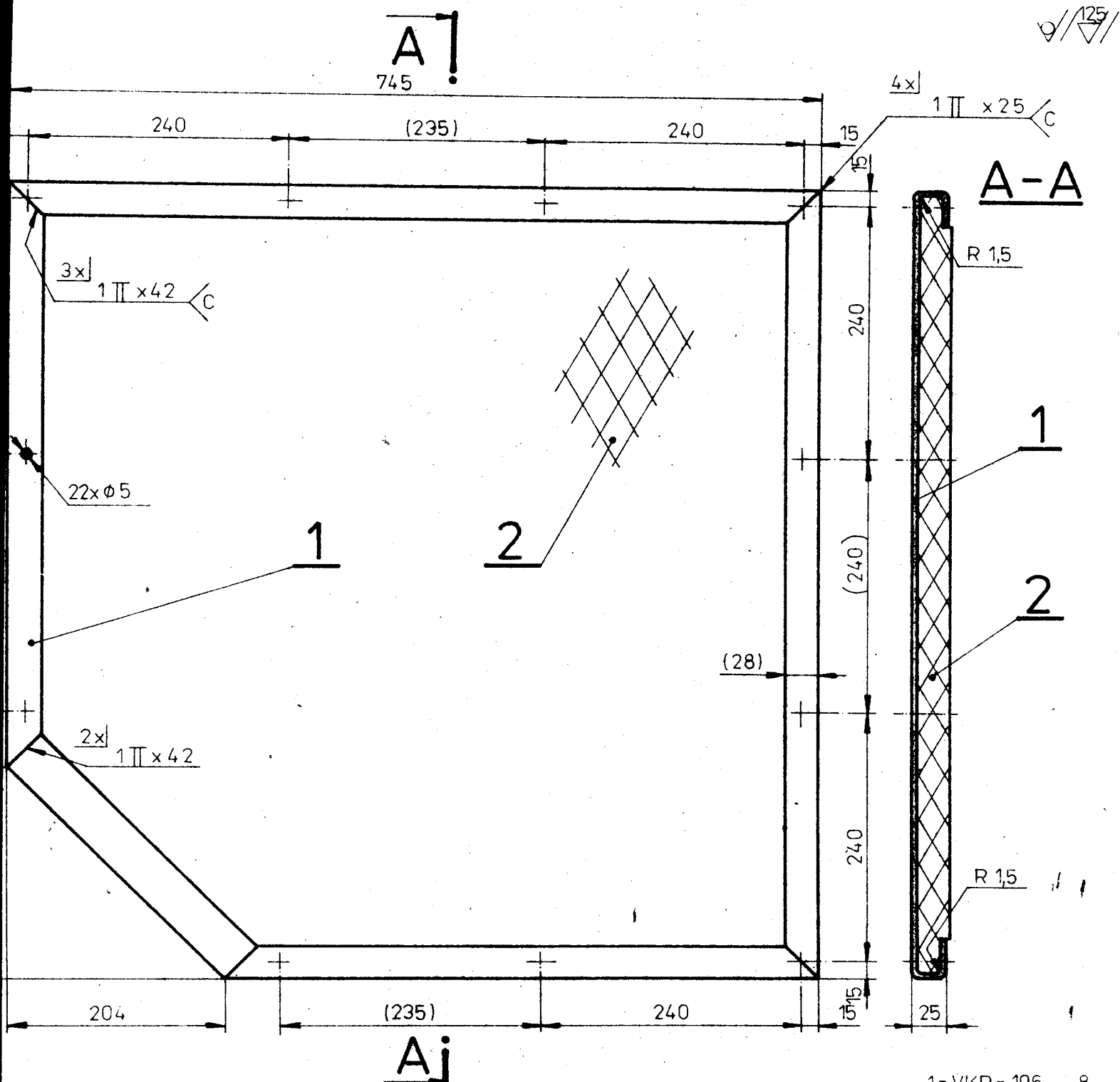
1:1

3/1993

| Počet kusů | Nevy. výkres |
|------------|--------------|
| | |



1x 0 2002
2x 0 2117- ODSTÍN 4400



1 - VKR - 196 8

| | | | | | | | | |
|---|----------------------------------|-----------------------------|----------|--|------|------|------|---|
| 1 | IZOLACE IZOMAT 25 x 735 x 740 | ZÁV.TECH.SKLA BRATISLAVA | | | 1,92 | 1,99 | | 2 |
| 1 | P. 1,2 x 842 x 847 | ČSN 42 5301 | 11 373,1 | | 001 | 6,55 | 6,87 | 1 |

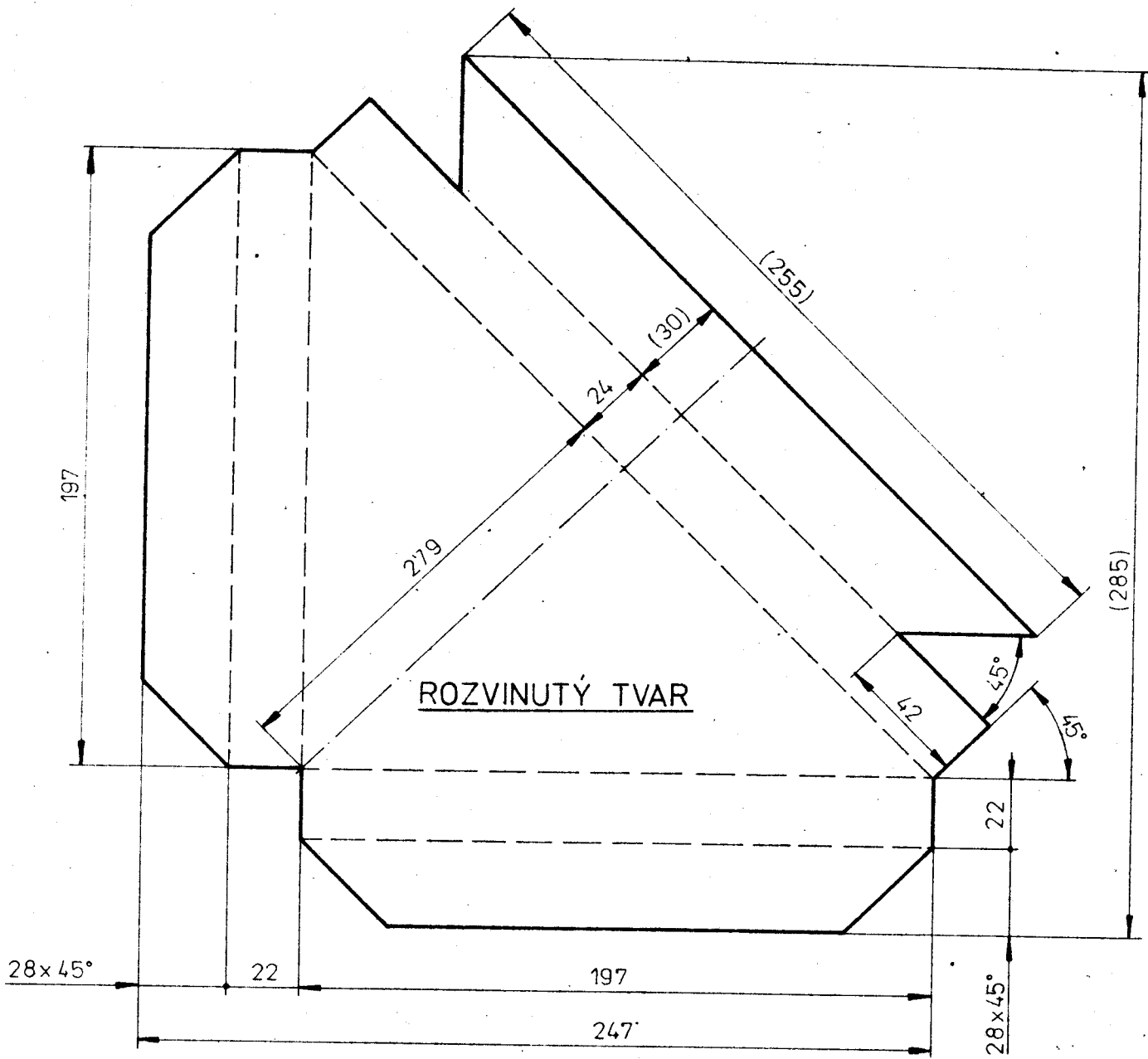
MICHAL Štěpán

1:5

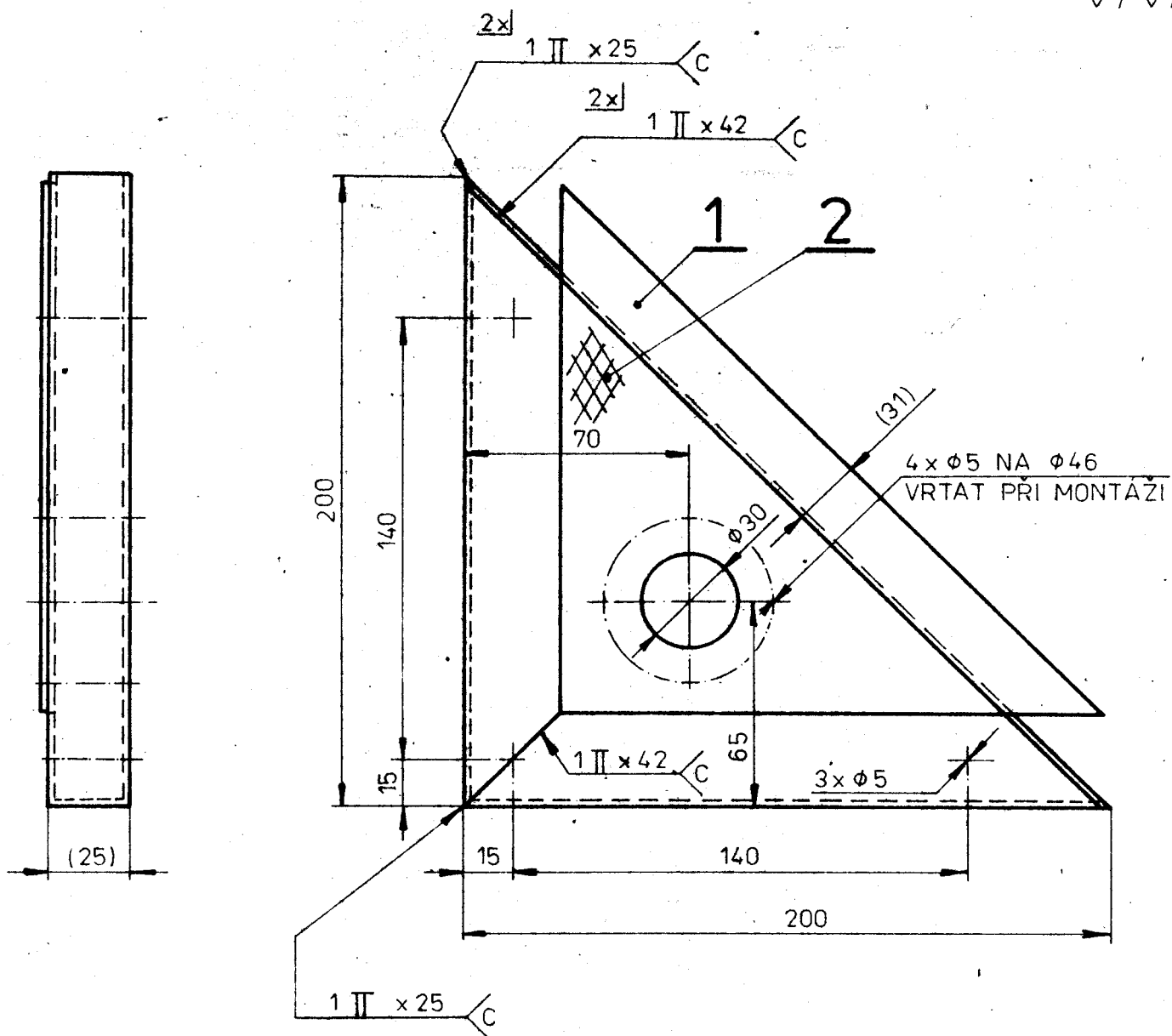
21.3.1993

PANEL I

3-VKR-2036



✓/125/



1x 0 2002

2x 0 2117 - ODSTÍN 4400

1-VKR-196 9

| | | | | | | | | |
|---|-----------------------------|-------------------------------|--------|--|------|------|------|--|
| 1 | ZOLACE IZOMAT 25x190x190 | ZÁV. TECH. SKLA BRATISLAVA | | | 0,05 | 0,1 | | |
| 1 | P 1,2 x 285 x 285 | ČSN 42 5301 | 11 373 | | 001 | 0,42 | 0,78 | |

číslo - 1000

Druh materiálu

Mater. kroviny

Krotnost výrobky

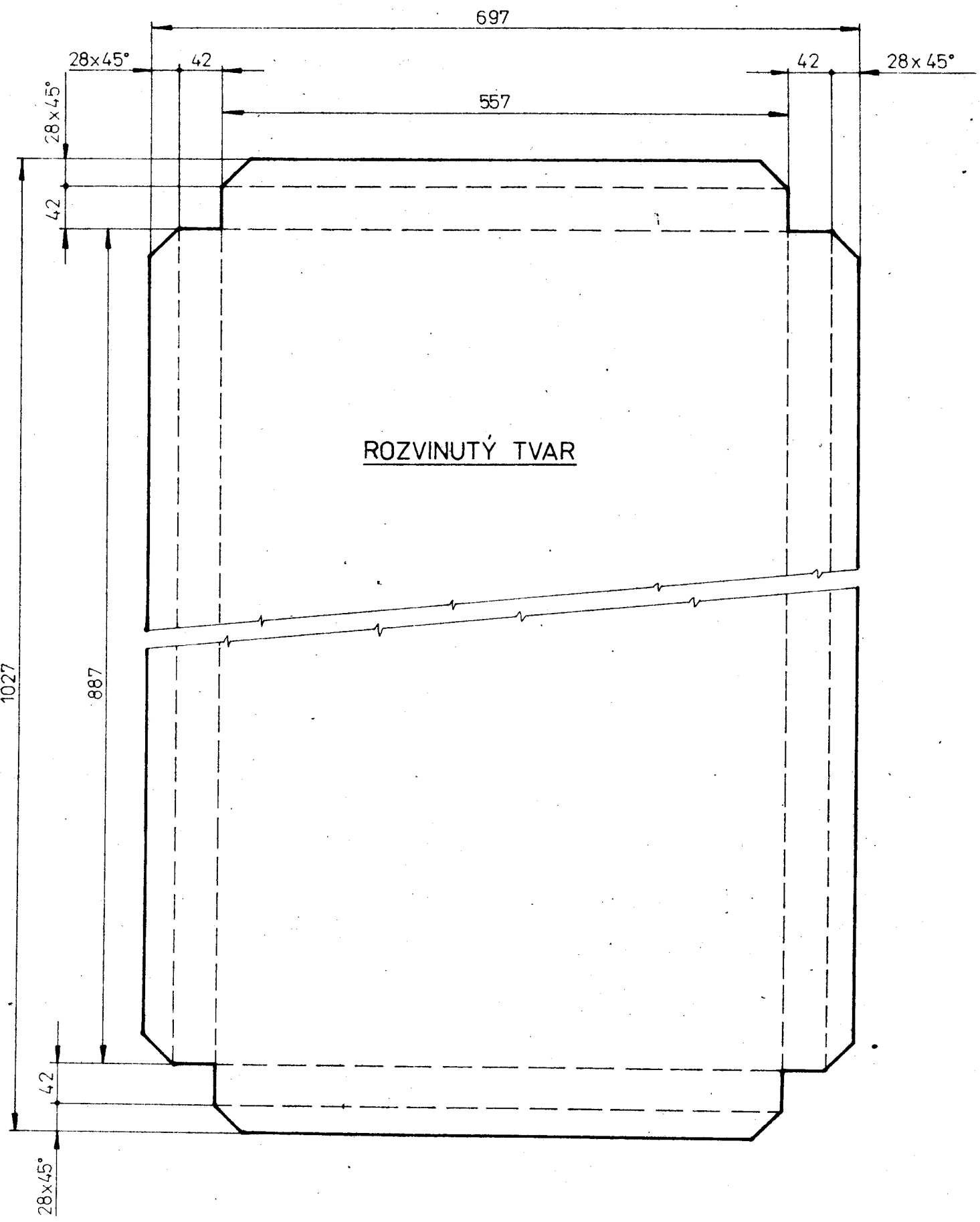
MICHAL

23.1.1993

1:2

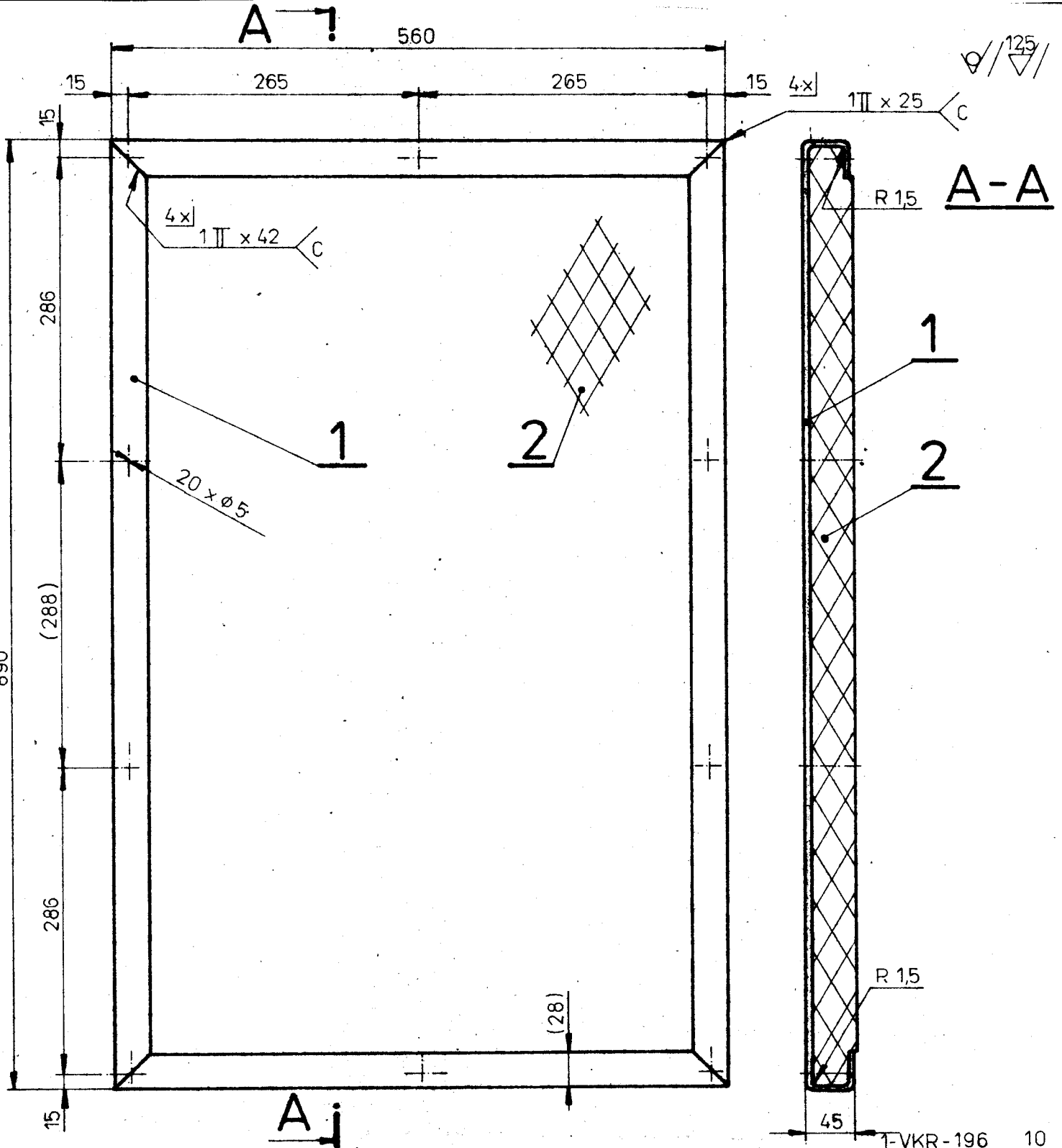
PANEL II

3-VKR-2037



ROZVINUTÝ TVAR

1x 0 2002
2x 0 2117 - ODSÍN 4400



1-VKR-196 10

| | | | | | | |
|---|--|----------|-----|------|------|---|
| IZOLACE IZOMAT 555 x 885 x 25 P. 1,2 x 697 x 1027 | ZÁVODY TECH. SKLA BRATISLAVA ČSN 42 5311 | | | 1,34 | | 2 |
| | | 11 373.1 | 001 | 6.12 | 6,15 | 1 |

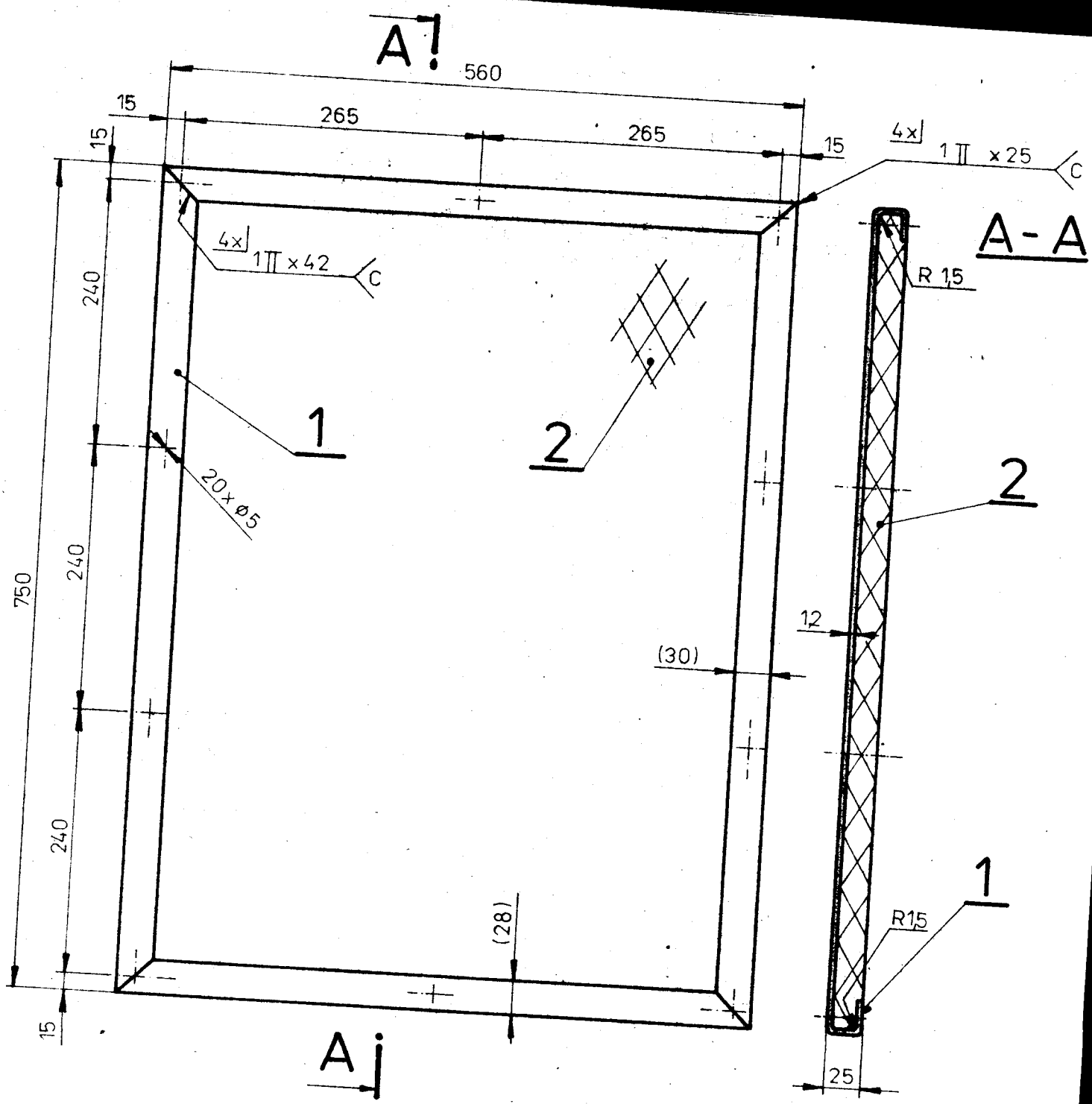
MICHLE Michal

1:5

12.2.1993

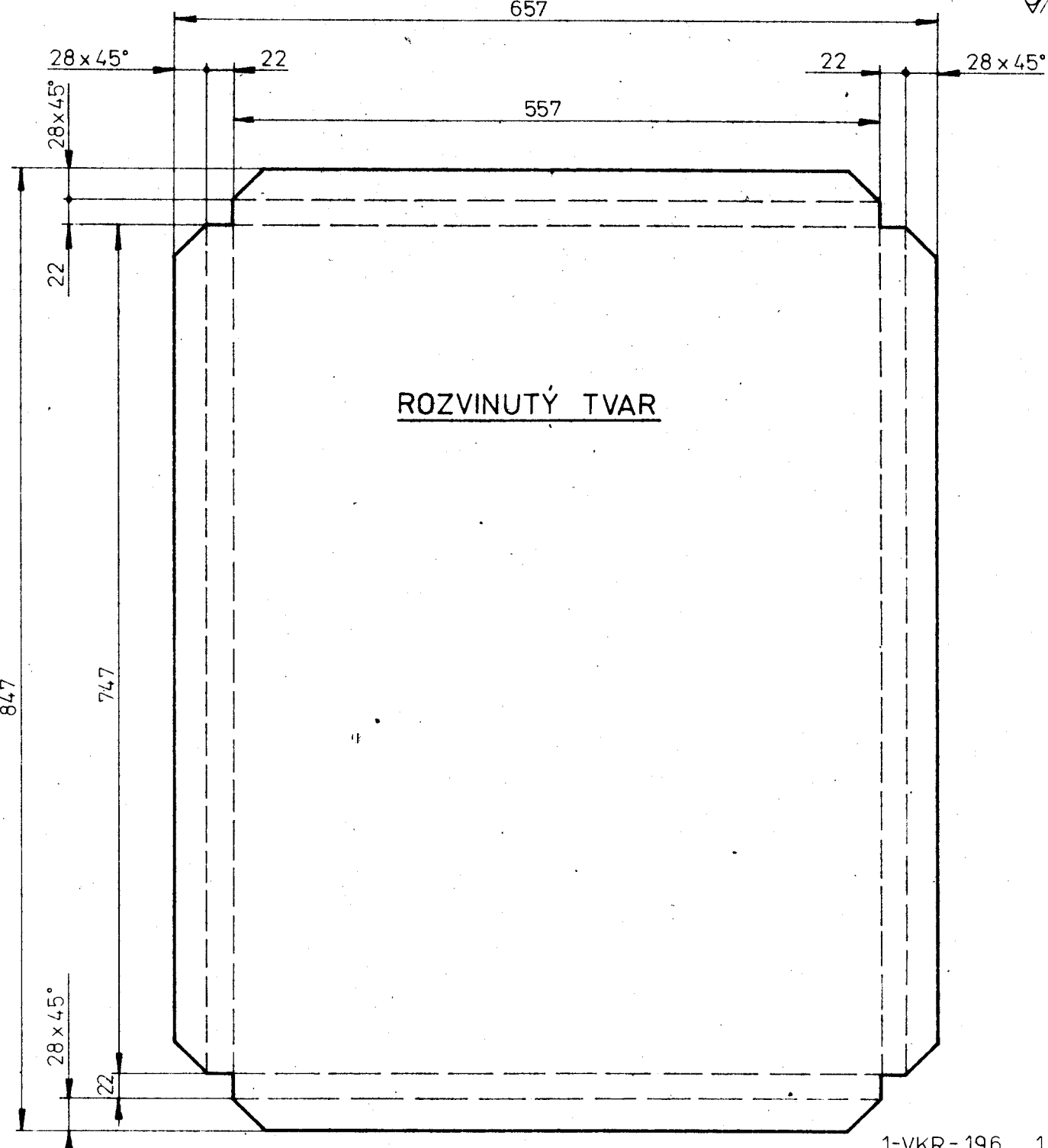
PANEL III

3-VKR-2038



1x 0 2002
2x 0 2117 - ODSТИН 4400

125



| | | | | |
|---|----------------|---------------------------------|----------|------|
| 1 | IZOLACE IZOMAT | ZAVODY TECH. SKLA BRATISLAVA | 1,17 | 11 |
| 1 | 555 x 745 x 25 | ČSN 42 5301 | 001 5,23 | 5,34 |

1-VKR-196 11

MICHL michl

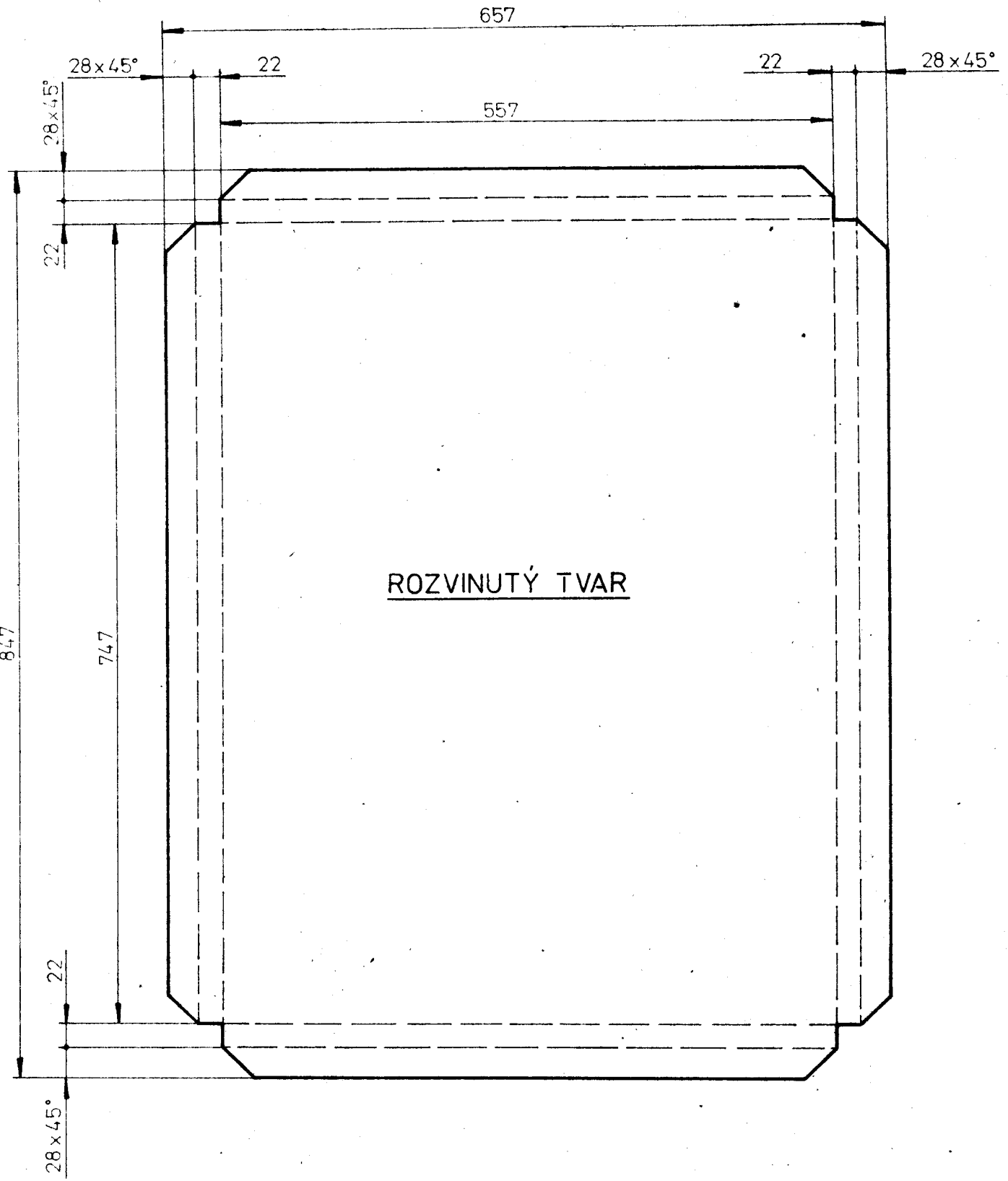
64

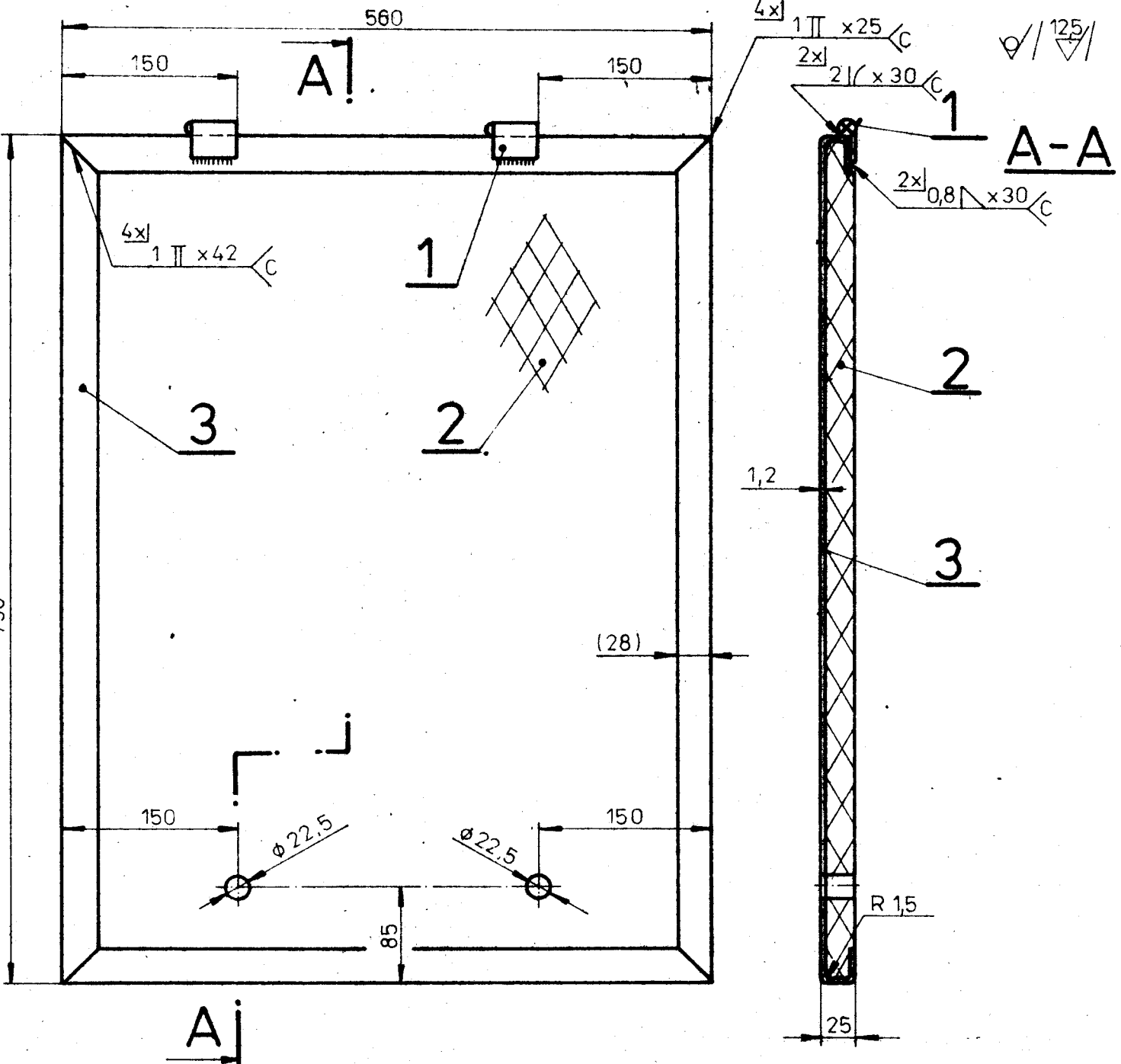
1:5

12.2.1993

PANEL IV

3-VKR-2039





1x 0 2002
2x 0 2117 - Odstín

1-VKR-196 12

| 1 | P. 1,2 x 657 x 847 | ČSN 42 5301 | 11 373.1 | | 001 | 5,23 | 5,34 | | | | 4 |
|---|----------------------------------|---------------------------------|----------|--|-----|------|-------|--|--|--|---|
| 1 | IZOLACE IZOMAT 555 x 745 x 25 | ZÁVODY TECH. SKLA BRATISLAVA | | | | | 1,17 | | | | 3 |
| 2 | OKENNÍ ZÁVĚS | | | | | | 0,045 | | | | 2 |

MICH'L *Micht*

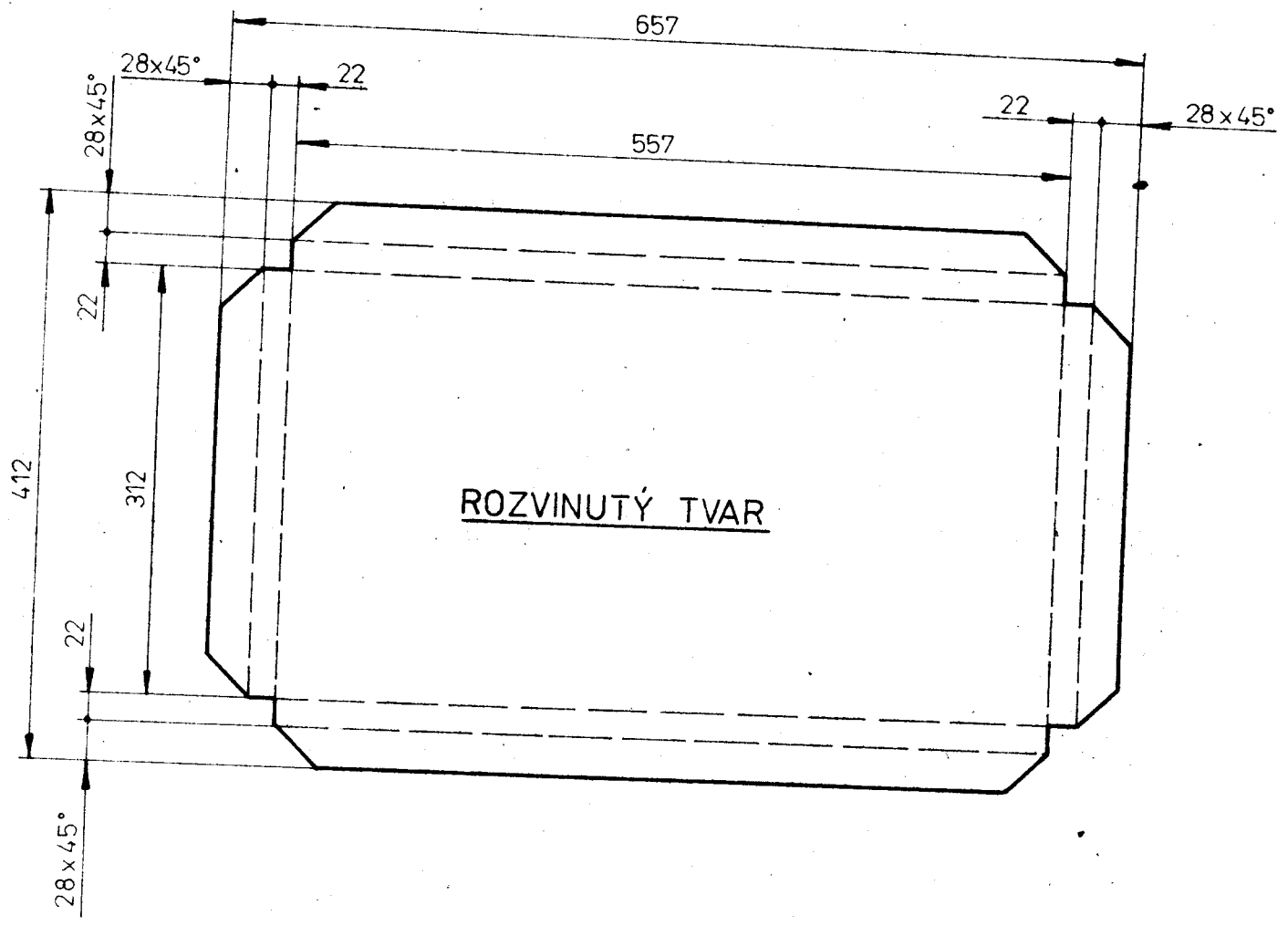
6,445

1 : 5

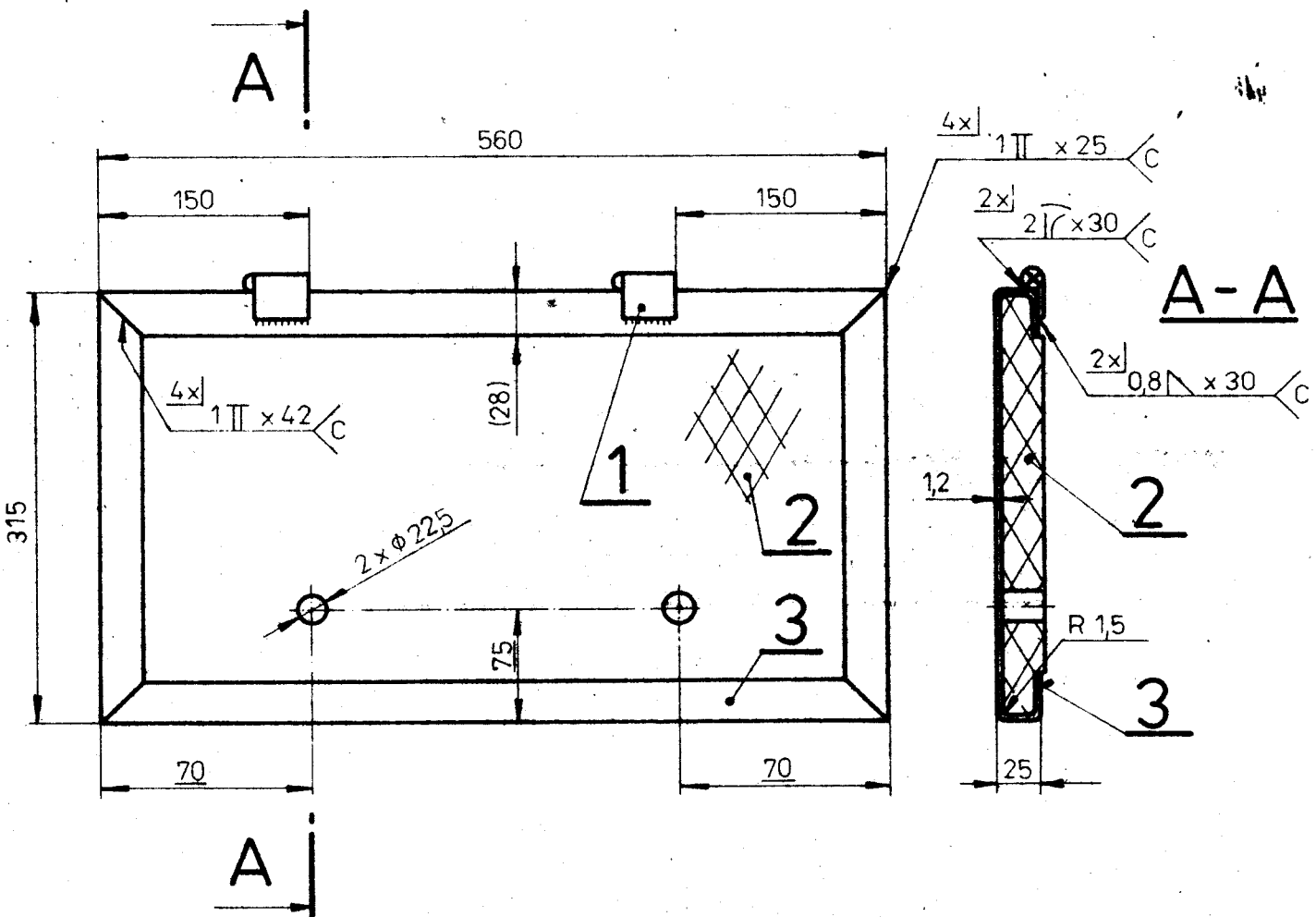
12.2.1993

PANEL V

3-VKR-2040



✓ / 12,5 /



1x 0 2002
2x 0 2117 - ODSTÍN 4400

1-VKR - 196 13

| | | | | | | | | | |
|---|----------------|---------------------------------|----------|--|-----|-------|-----|--|----|
| 1 | P. 12x412x657 | ČSN 42 5301 | 11 373.1 | | 001 | 2,49 | 2,6 | | 3, |
| 1 | IZOLACE IZOMAT | ZÁVODY TECH. SKLA BRATISLAVA | | | | 0,48 | | | 2 |
| 2 | OKENNÍ ZÁVĚS | | | | | 0,045 | | | 1 |

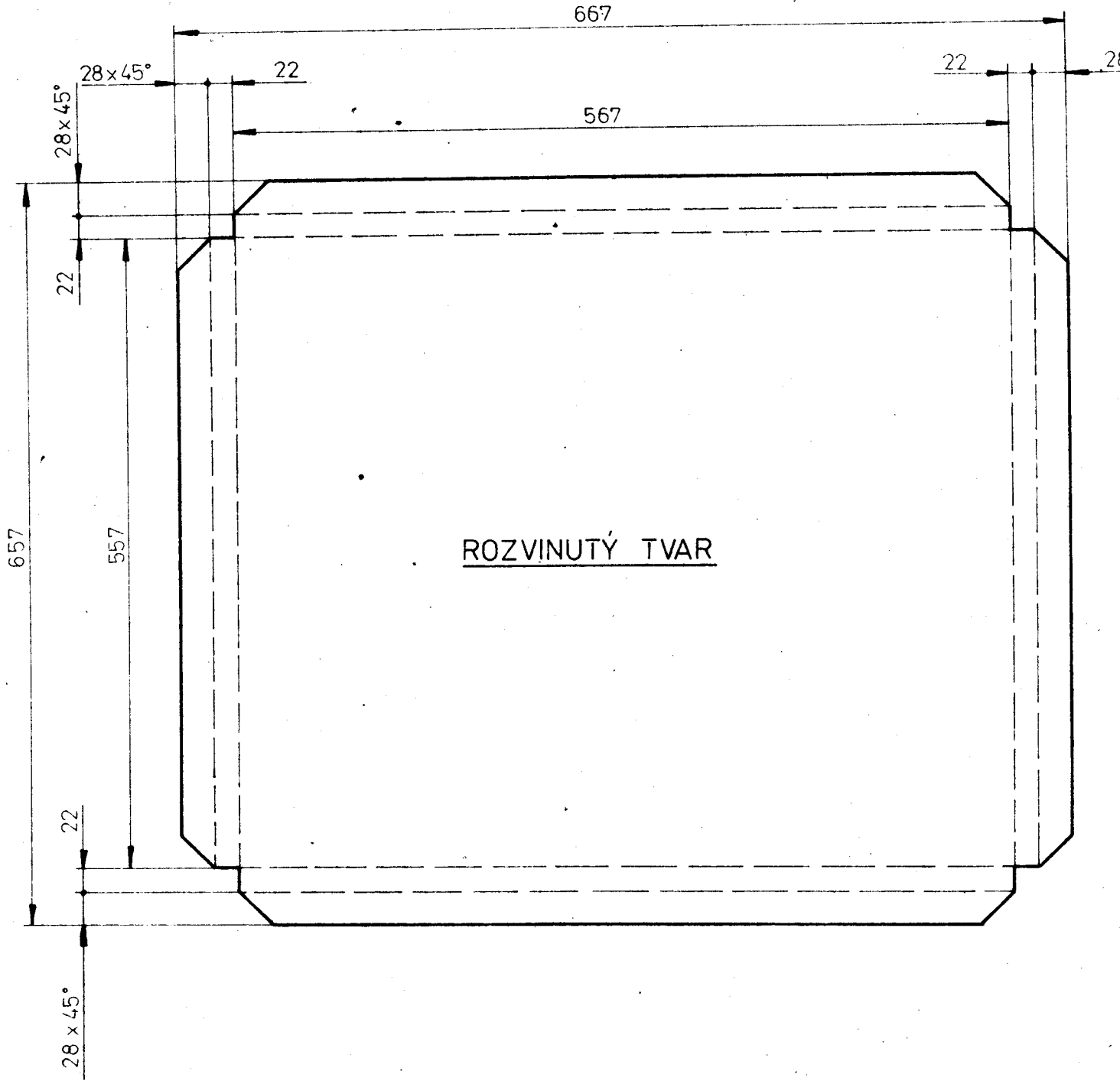
MICHL, Siegfried

1:5

15.3.1993

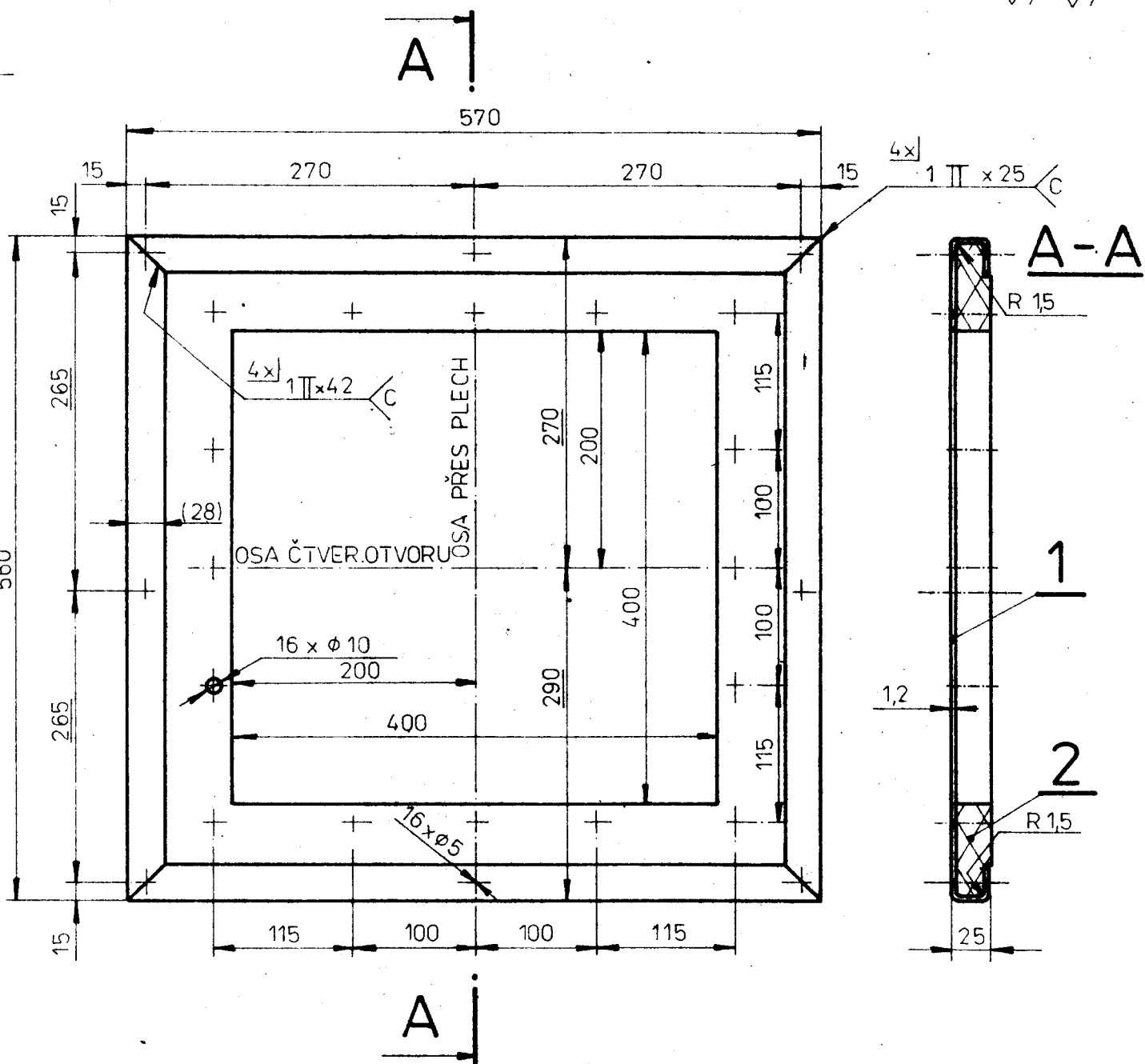
PANEL VI

3-VKR-2041



✓ / 125 /

x 45°



1x 0 2002

2x 0 2117 - ODSTÍN 4400

1-VKR-196 14

| | | | | | | | | |
|---|----------------------------------|-------------|----------|-----|------|------|--|---|
| 1 | IZOLACE IZOMAT 555 x 575 x 25 | | | | 0,45 | | | 2 |
| 1 | P. 12 x 657 x 667 | ČSN 42 5311 | 11 373.1 | 001 | 2,55 | 4,21 | | 1 |

MICHLE

15.3.1993

1:5

PANEL VII

3-VKR-2042